

Comparação e Desenvolvimento de Algoritmos de Transformada de Distância Euclidiana e Aplicações



Aluno: Ricardo Fabbri

Orientador: Odemir Martinez Bruno

e-mail: rfabbri@if.sc.usp.br

Instituto de Ciências Matemáticas e de Computação
Universidade de São Paulo, Brasil.

 **FAPESP**

08/2004

Plano da Apresentação

- Introdução
 - Definição de TD
 - Aplicações
- Algoritmos Euclidianos
 - Tipos de algoritmos
 - Principais algoritmos de cada tipo
- Metodologia
- Resultados
- Conclusões
- Referências



Introdução

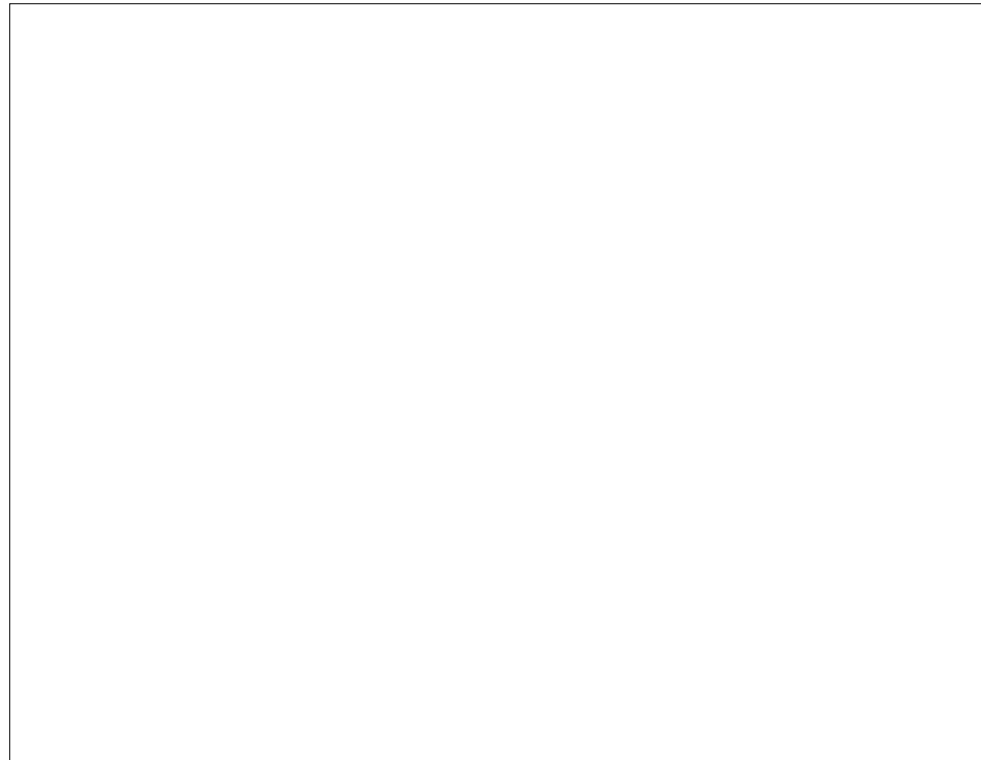
Transformada da Distância

- Para cada ponto de um domínio
 - Calcular a mínima distância ao conjunto de interesse



Transformada da Distância

- Para cada ponto de um domínio
 - Calcular a mínima distância ao conjunto de interesse

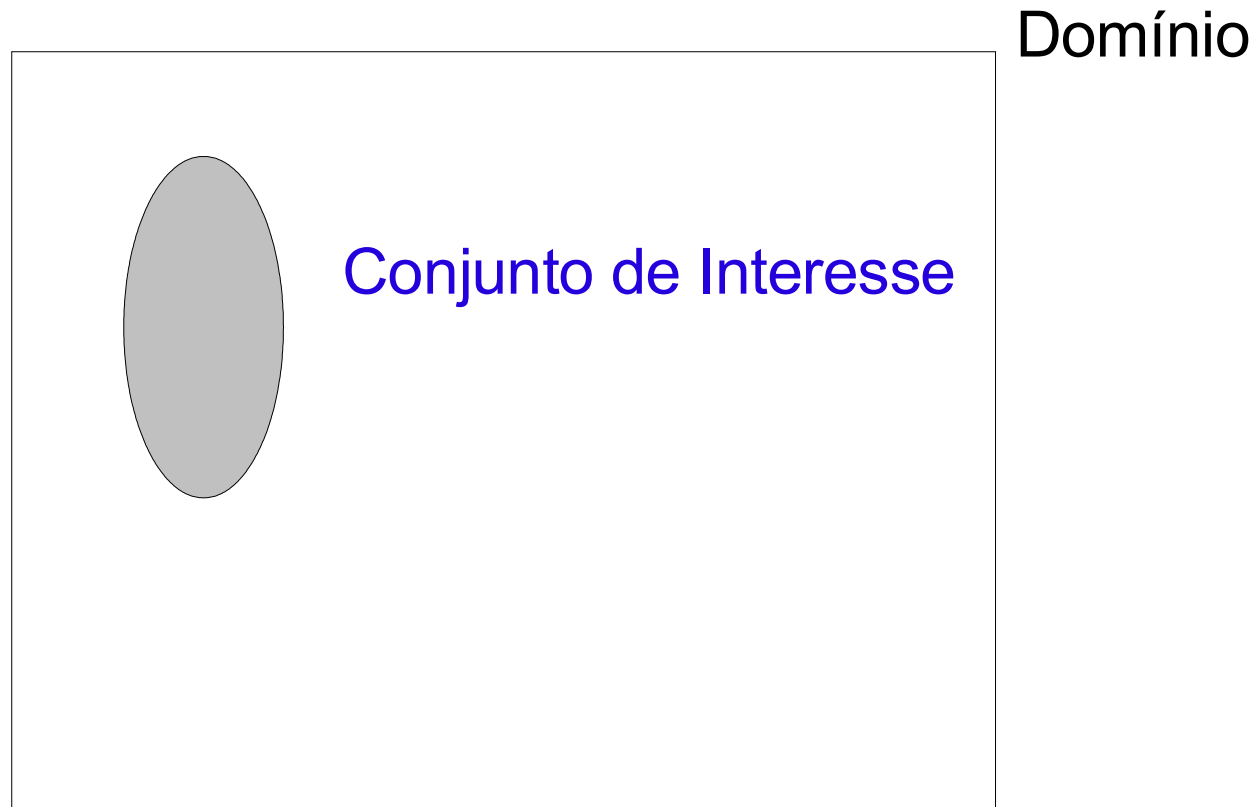


Domínio



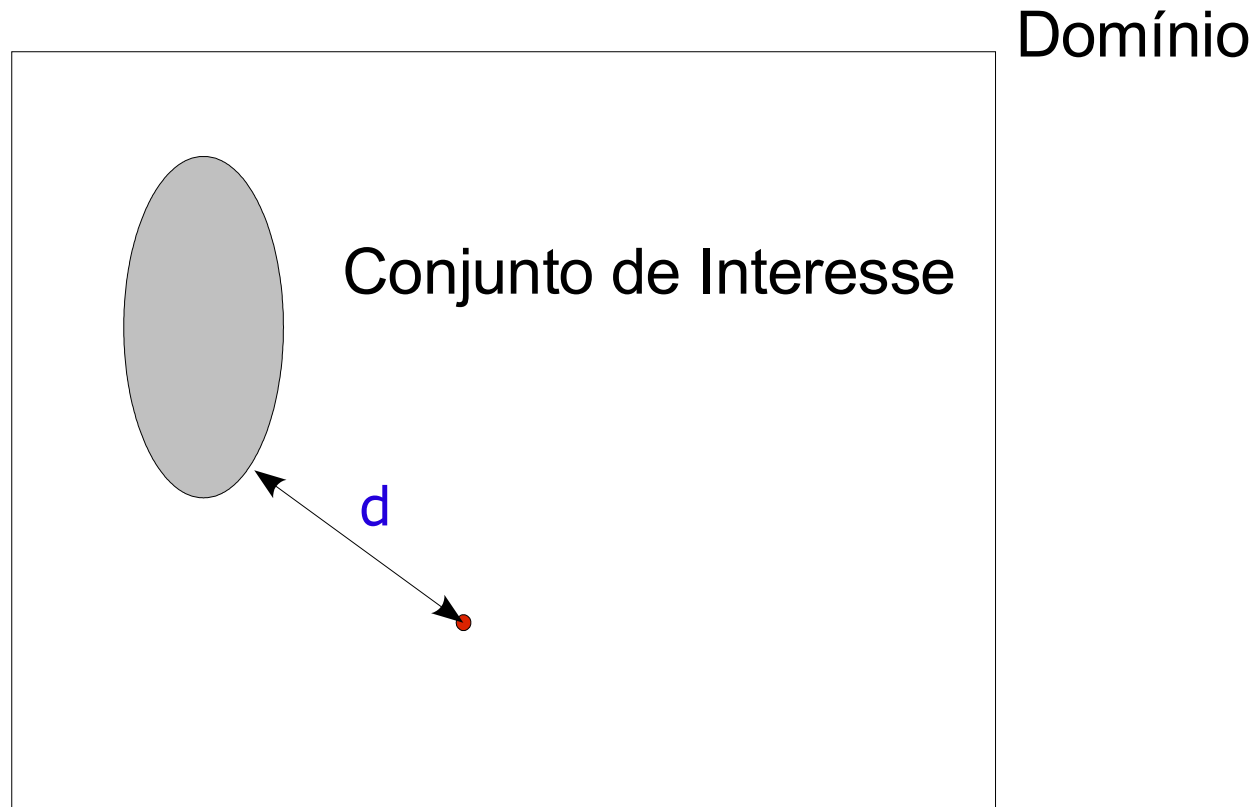
Transformada da Distância

- Para cada ponto de um domínio
 - Calcular a mínima distância ao conjunto de interesse

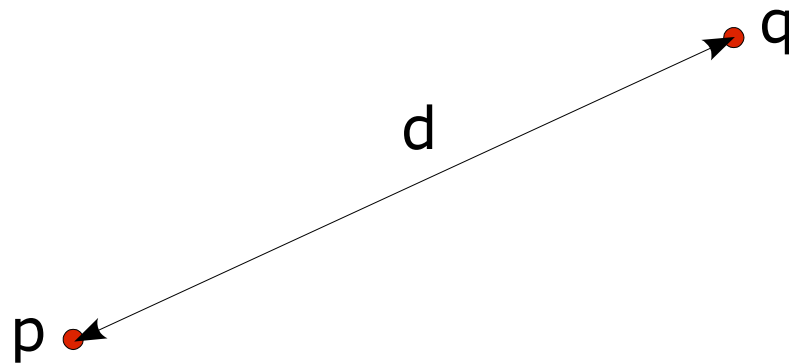


Transformada da Distância

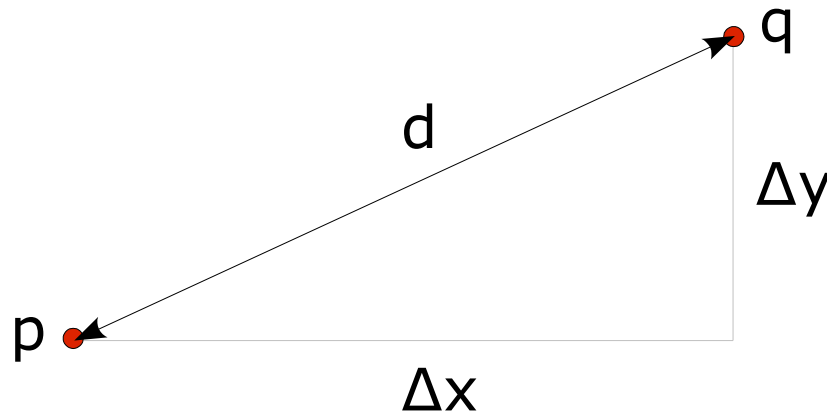
- Para cada ponto de um domínio
 - Calcular a mínima distância ao conjunto de interesse



Distância Pontual



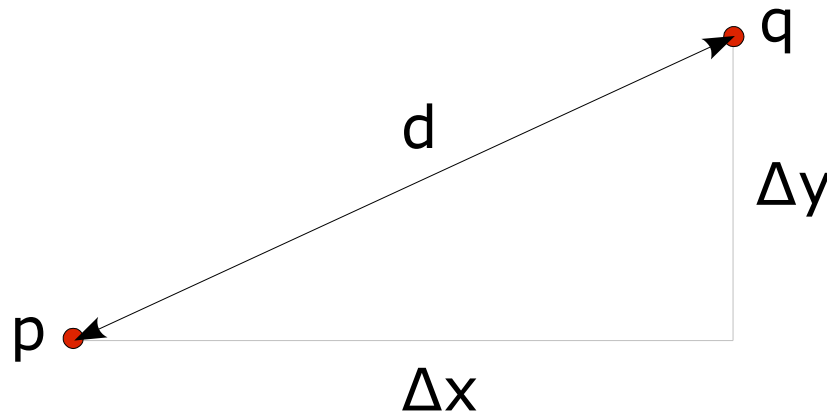
Distância Pontual



$$d = \sqrt{\Delta^2 x + \Delta^2 y} \quad (\text{euclidiana})$$



Distância Pontual

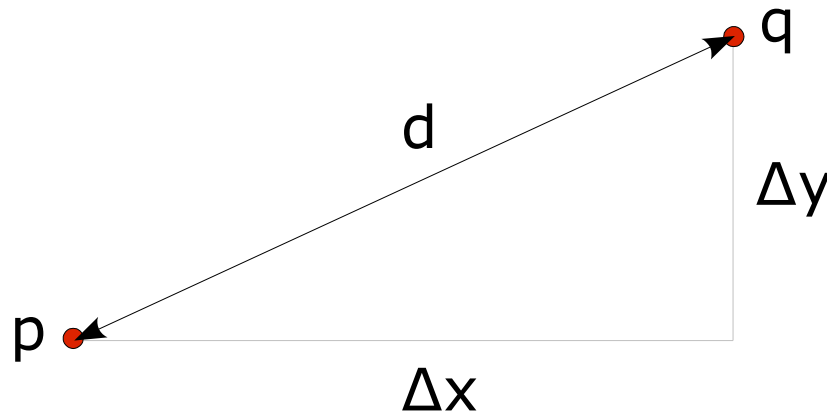


$$d = \sqrt{\Delta^2 x + \Delta^2 y} \quad (\text{euclidiana})$$

$$= |\Delta x| + |\Delta y| \quad (\text{cityblock})$$



Distância Pontual



$$d = \sqrt{\Delta^2 x + \Delta^2 y} \quad (\text{euclidiana})$$

$$= |\Delta x| + |\Delta y| \quad (\text{cityblock})$$

$$= \max \{|\Delta x|, |\Delta y|\} \quad (\text{chessboard})$$



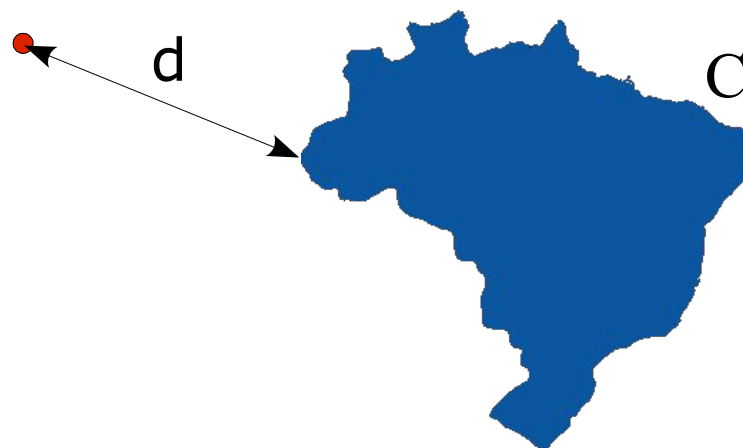
Distância de Ponto a Conjunto

- Menor distância



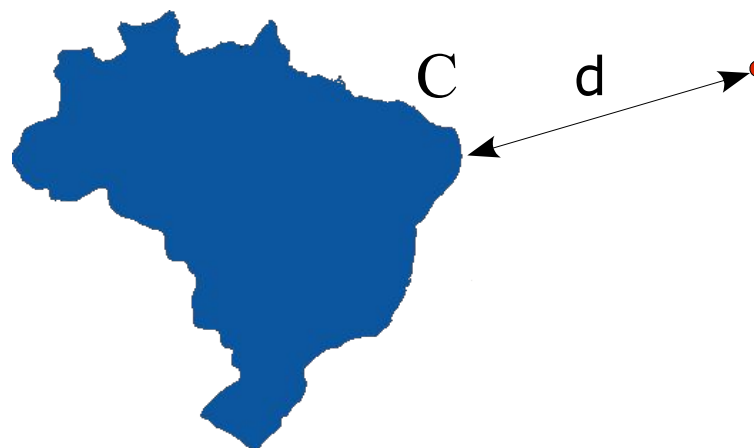
Distância de Ponto a Conjunto

- Menor distância



Distância de Ponto a Conjunto

- Menor distância



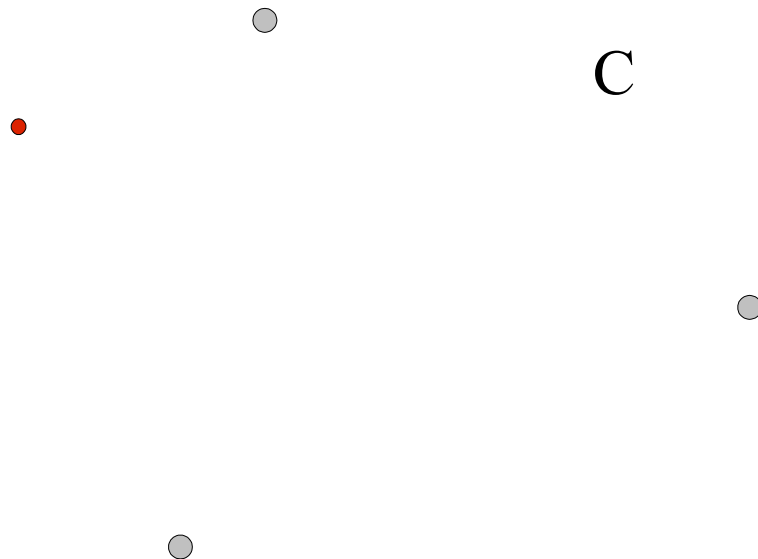
Distância de Ponto a Conjunto



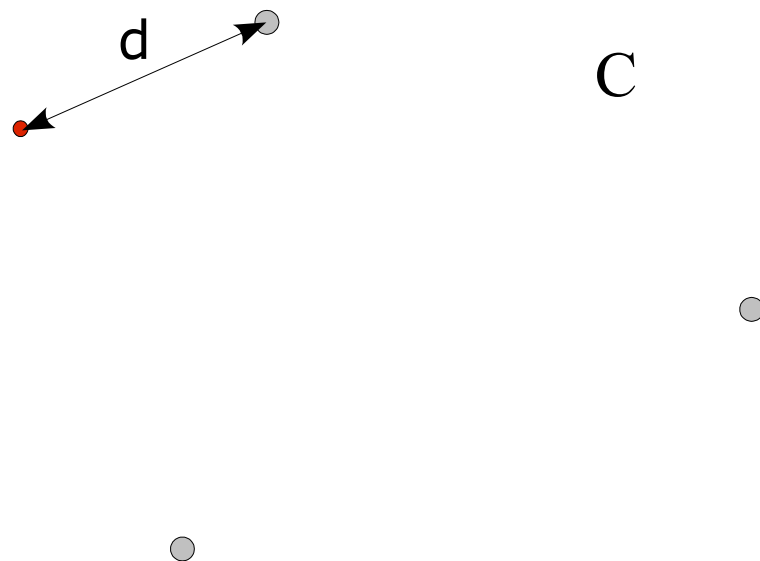
C



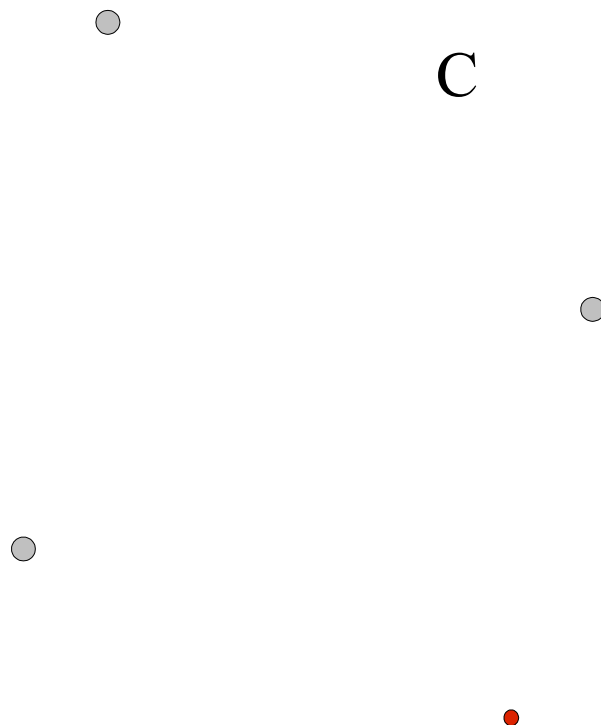
Distância de Ponto a Conjunto



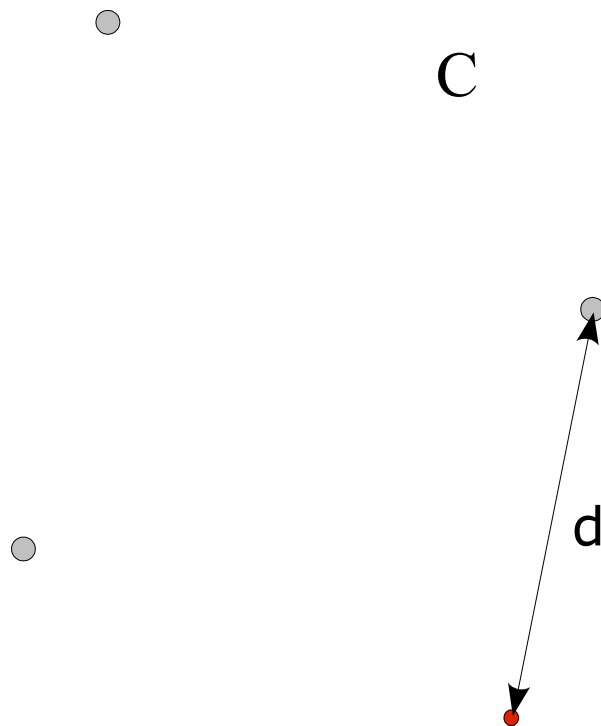
Distância de Ponto a Conjunto



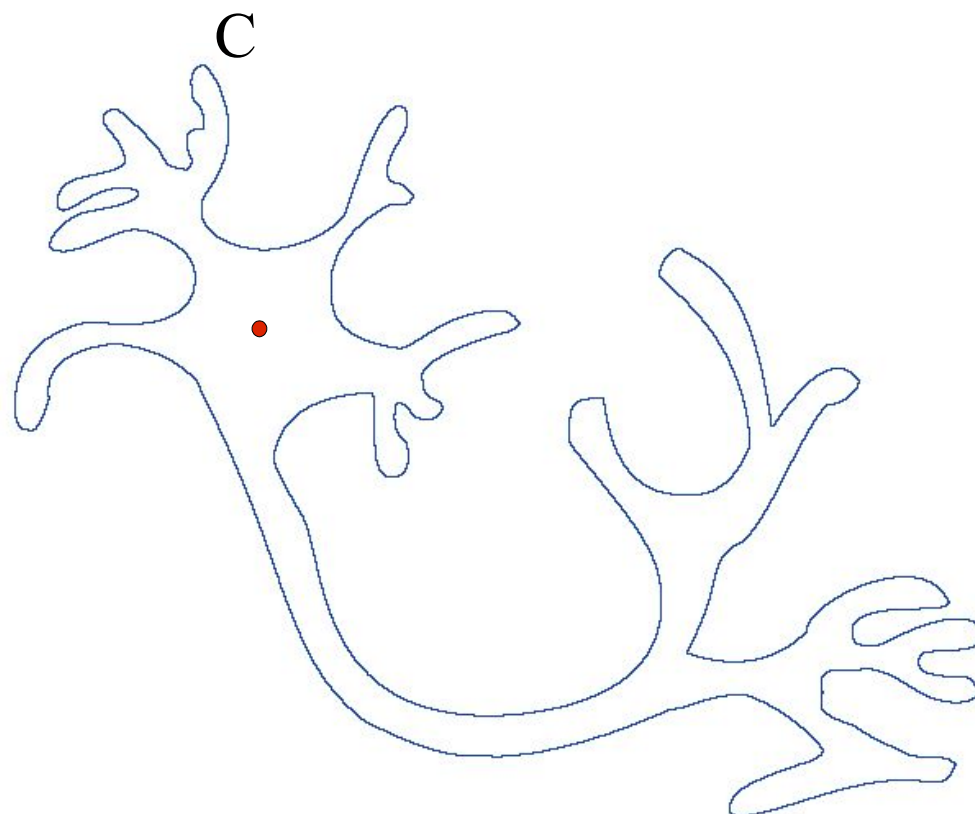
Distância de Ponto a Conjunto



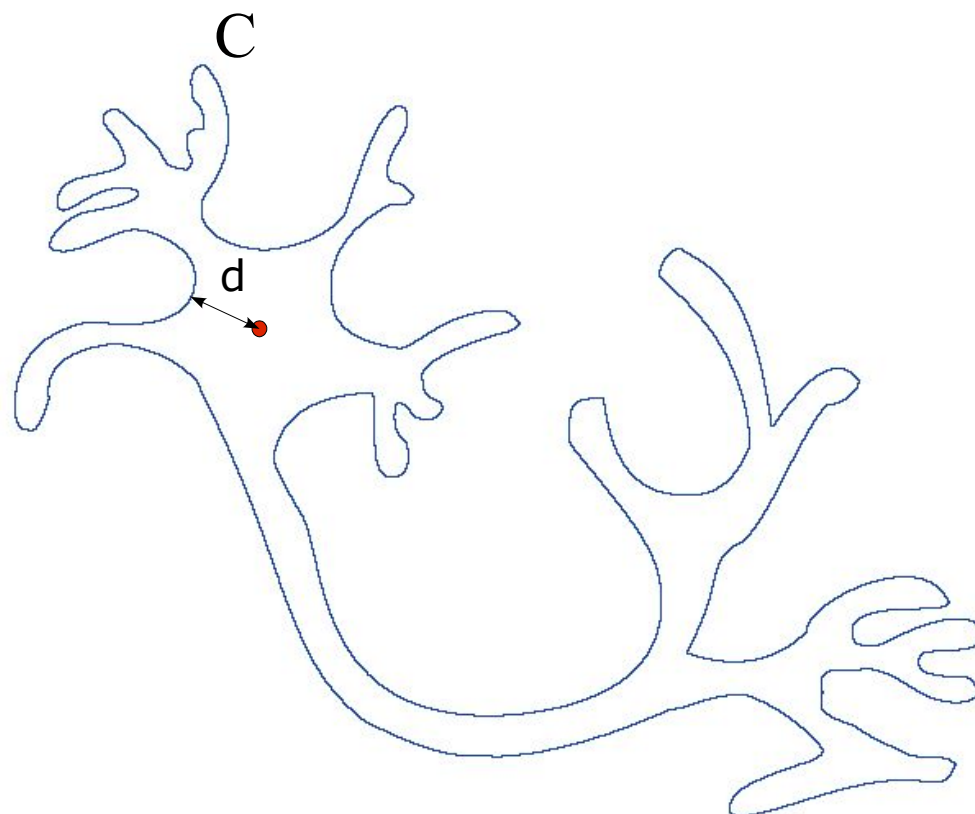
Distância de Ponto a Conjunto



Distância de Ponto a Conjunto



Distância de Ponto a Conjunto



TD para Imagens

- Domínio
 - Imagem (grade discreta)
- Conjunto de interesse
 - Pixels com valor Zero (pixels pretos)
- Objetivo
 - Para cada pixel, calcular sua distância ao conjunto de interesse



Transformada da Distância

1	1	1	1	1	1	1
1	1	0	1	1	1	1
1	1	1	1	1	1	1
1	1	1	1	1	1	1
1	1	1	1	1	0	1
1	0	1	1	1	1	1
1	1	1	1	1	1	1



A 7x7 grid with black squares at (2,3), (5,6), and (6,2) using 0-indexing from top-left. A red square highlights the cell at (0,2).



		1				



Transformada da Distância

1	1	1	1	1	1	1
1	1	0	1	1	1	1
1	1	1	1	1	1	1
1	1	1	1	1	1	1
1	1	1	1	1	0	1
1	0	1	1	1	1	1
1	1	1	1	1	1	1

		1				



Transformada da Distância

1	1	1	1	1	1	1
1	1	0	1	1	1	1
1	1	1	1	1	1	1
1	1	1	1	1	1	1
1	1	1	1	1	0	1
1	0	1	1	1	1	1
1	1	1	1	1	1	1

		1				
5						



Transformada da Distância

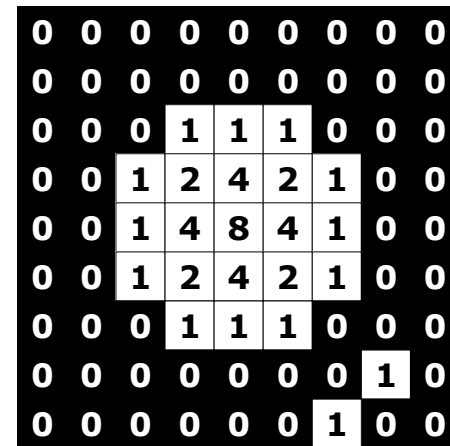
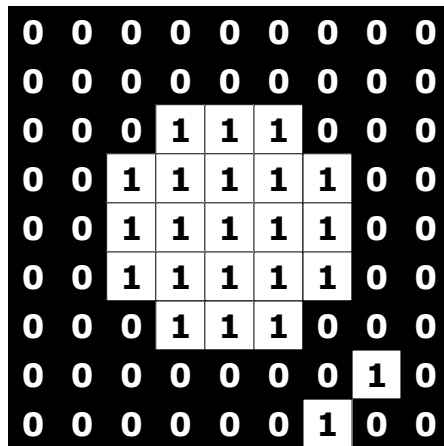
1	1	1	1	1	1	1
1	1	0	1	1	1	1
1	1	1	1	1	1	1
1	1	1	1	1	1	1
1	1	1	1	1	0	1
1	0	1	1	1	1	1
1	1	1	1	1	1	1

5	2	1	2	5	10	17
4	1	0	1	4	9	10
5	2	1	2	5	4	5
5	4	4	5	2	1	2
2	1	2	4	1	0	1
1	0	1	4	2	1	2
2	1	2	5	5	4	5

Mapa de distâncias



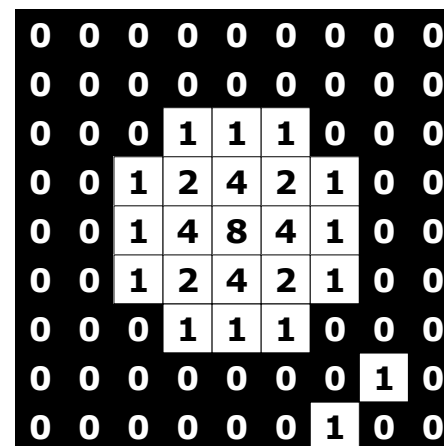
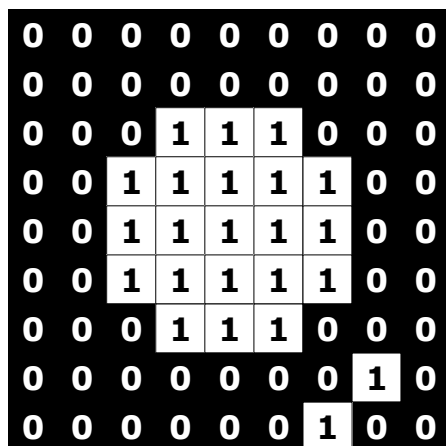
Transformada da Distância



Mapa de distâncias



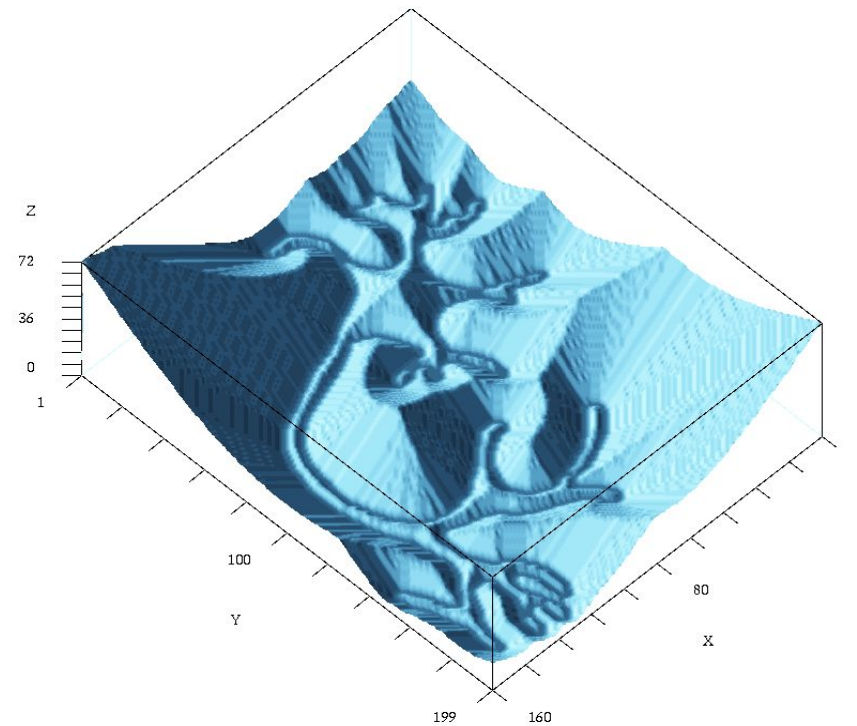
Transformada da Distância



- Pontos de interesse = pixels pretos
- Em análise de formas:
 - Objeto = pixels brancos



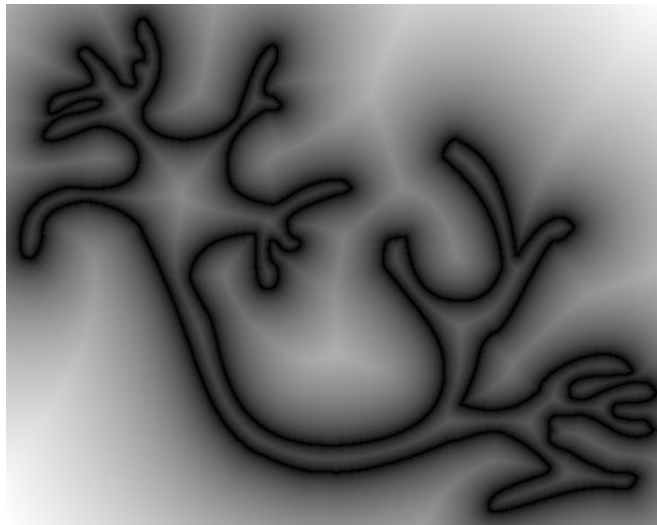
Visualizando a TD



Altura ~ distância



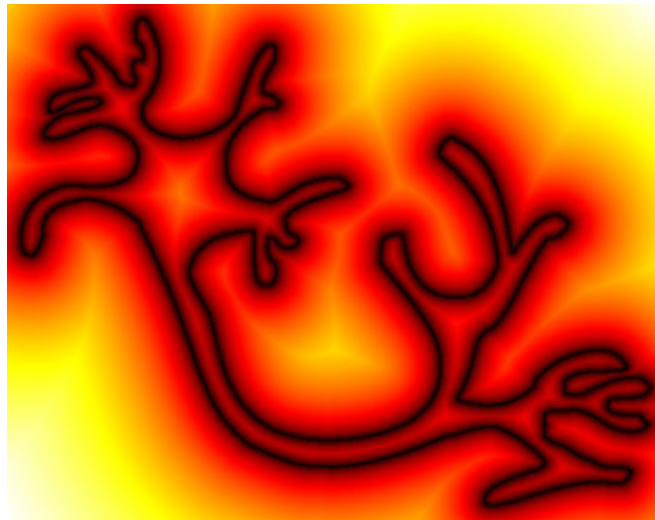
Visualizando a TD



Brilho \sim distância



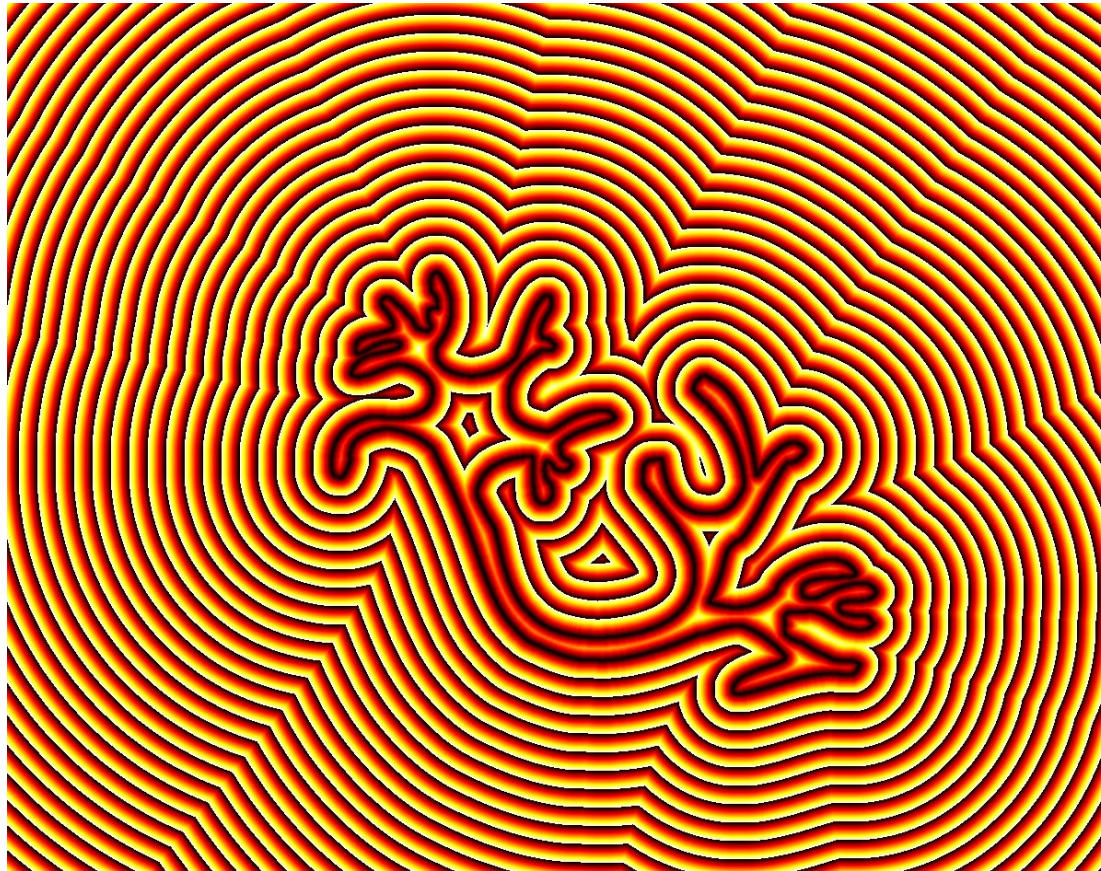
Visualizando a TD



Brilho \sim distância



Visualizando a TD

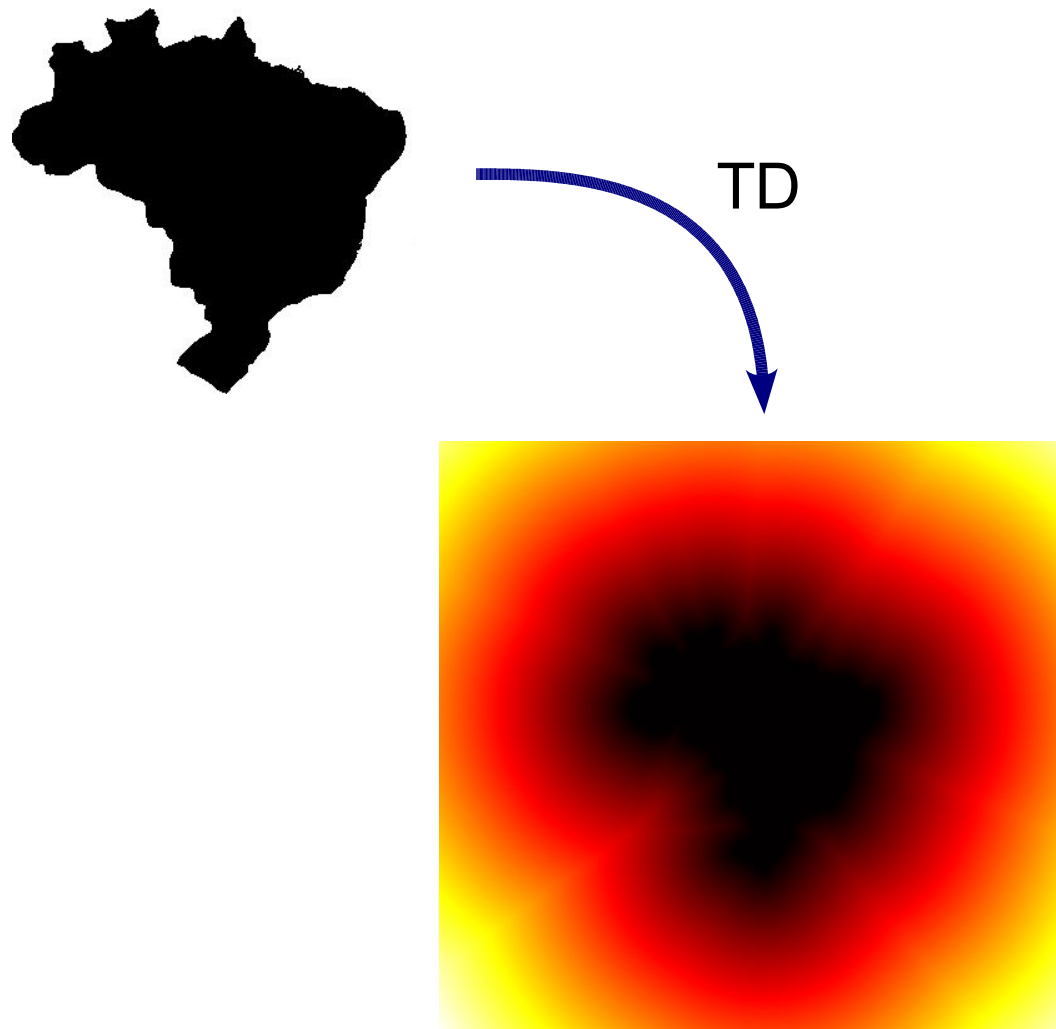


- Distâncias módulo n
- Curvas de nível \sim transições abruptas



Aplicações da TD

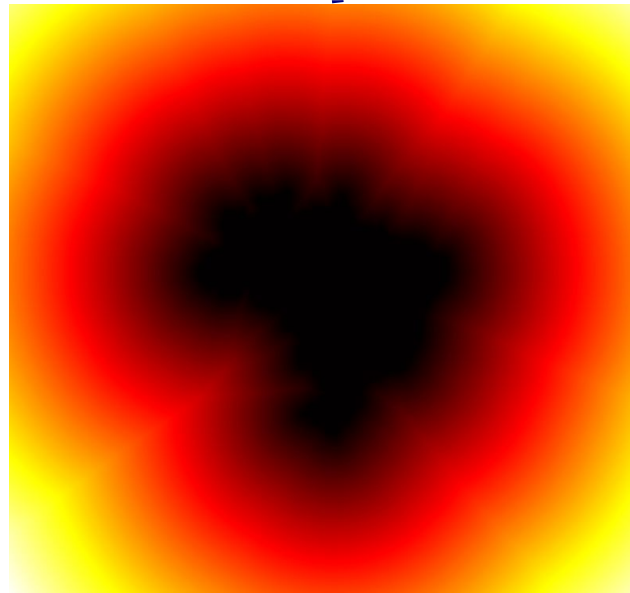
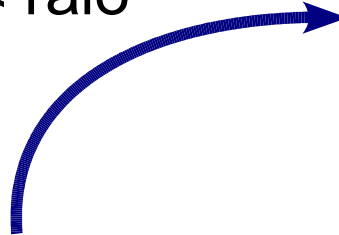
Dilatação



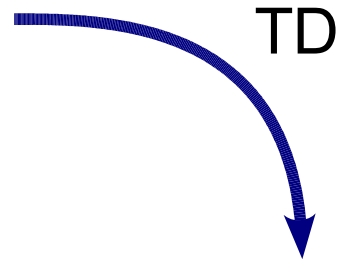
Dilatação



$d < \text{raio}$



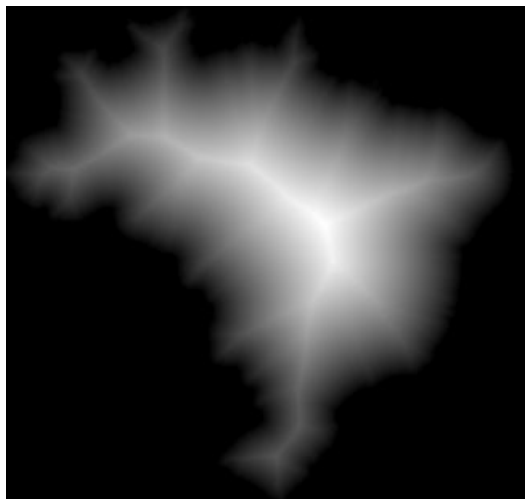
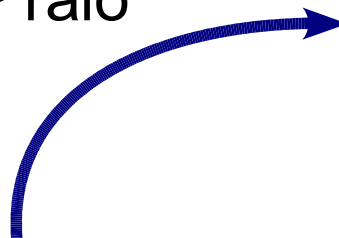
Erosão



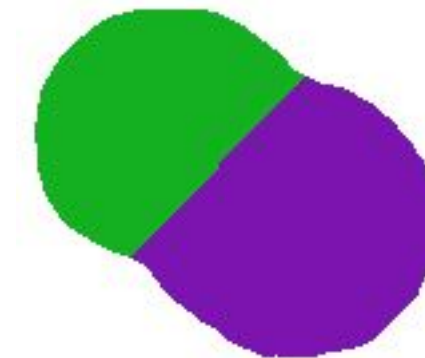
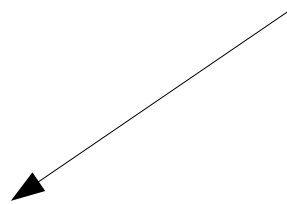
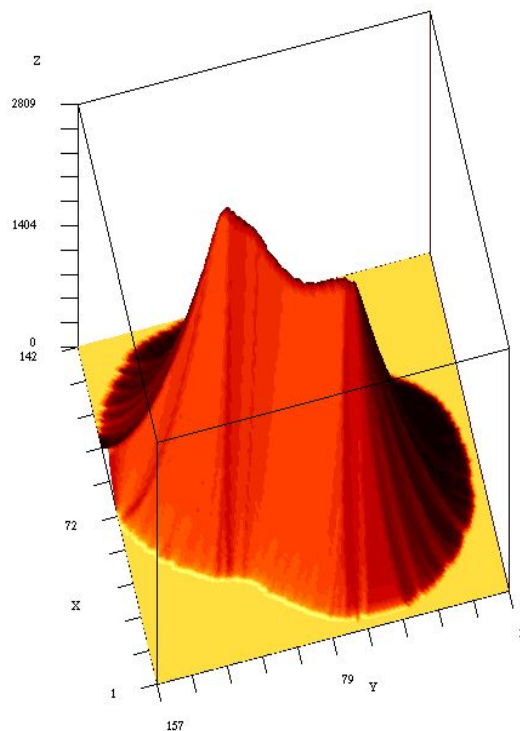
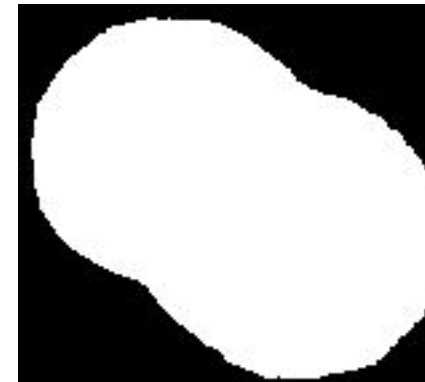
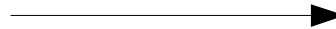
Erosão



$d > \text{raio}$



Separação de Objetos



Outras Aplicações

- Casamento de formas (*matching*)
- Navegação em Robótica
 - Caminhos mínimos
- *Image Registration*
- Imagens Médicas
- Esqueletos e Diagramas de Voronoi



Outras Aplicações

- Dimensão Fractal
- Medidas da forma
 - Largura máxima
- Classificação (*clustering*)
- Realce
- Ray-tracing
- Botânica
- Geologia



Motivação e Objetivos

Motivação

- Vários algoritmos de TDE recentes e complexos
- Não se sabe qual é o melhor
- Não se sabe ao certo quais são corretos
- Implementações pouco difundidas



Motivação

Causas:

- Algoritmos muito recentes e elaborados
- Descrições dos artigos é muito curta e abstrata
- Testes dos artigos são insuficientes e parciais
- Demonstrações não são tudo:
 - sempre podem conter erros sutis
- Pouca tradição de trabalhos de avaliação em P.I.



Motivação

- Desempenho dos Algoritmos Depende do Conteúdo
- Natureza dessa dependência é não-trivial
 - Número de pixels de interesse
 - Orientação
 - Espessura do objeto
 - Diversos fatores geométricos
 - Não se sabe ao certo quais fatores influenciam cada método!



Objetivos

- Estudar os recentes algoritmos de TDE
 - Organizar
 - Implementar
 - Comparar e Validar
 - Empiricamente e Teoricamente
- Principais Perguntas:
 - Quais os algoritmos mais rápidos?
 - Quais são exatos?
 - Qual a ordem de complexidade dos algoritmos?
 - Qual o algoritmo mais adequado a determinada tarefa?



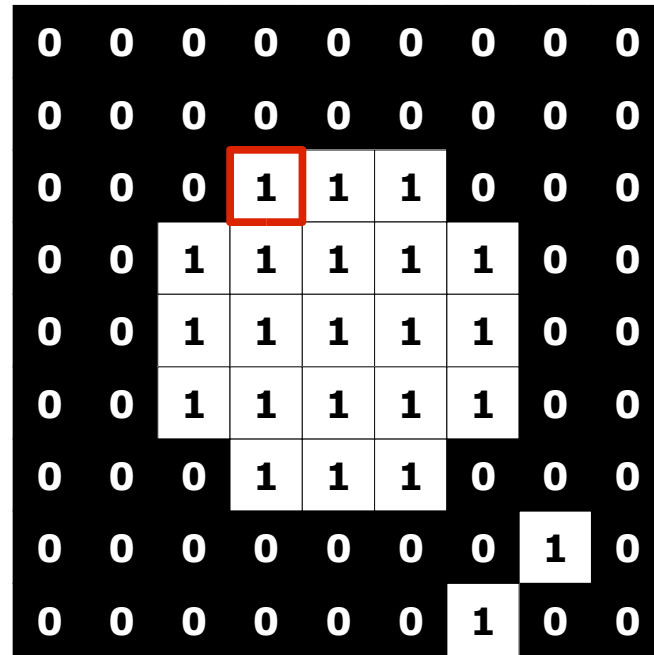
Objetivos

- Pavimentar o caminho para:
 - Extensões a outras entidades
 - Diagramas de Voronoi / Esqueletos
 - Segmentação (outras métricas)
 - Correções, demonstrações
 - Novos algoritmos



Algoritmos

Força-Bruta



- Para cada pixel "1" da imagem, encontrar a mínima distância aos pixels "0"



Força-Bruta

0	0	0	0	0	0	0	0	0	0
0	0	0	0	0	0	0	0	0	0
0	0	0	1	1	1	0	0	0	0
0	0	1	1	1	1	1	0	0	0
0	0	1	1	1	1	1	0	0	0
0	0	1	1	1	1	1	0	0	0
0	0	0	1	1	1	0	0	0	0
0	0	0	0	0	0	0	1	0	0
0	0	0	0	0	0	1	0	0	0



Força-Bruta

0	0	0	0	0	0	0	0	0	0
0	0	0	0	0	0	0	0	0	0
0	0	0	1	1	1	0	0	0	0
0	0	1	1	1	1	1	0	0	0
0	0	1	1	1	1	1	0	0	0
0	0	1	1	1	1	1	0	0	0
0	0	0	1	1	1	0	0	0	0
0	0	0	0	0	0	0	1	0	0
0	0	0	0	0	0	1	0	0	0



Força-Bruta

0	0	0	0	0	0	0	0	0	0
0	0	0	0	0	0	0	0	0	0
0	0	0	1	1	1	0	0	0	0
0	0	1	1	1	1	1	0	0	0
0	0	1	1	1	1	1	0	0	0
0	0	1	1	1	1	1	0	0	0
0	0	0	1	1	1	0	0	0	0
0	0	0	0	0	0	0	1	0	0
0	0	0	0	0	0	1	0	0	0

– Número de operações:

- $\Omega(n^2)$ e $O(n^4)$



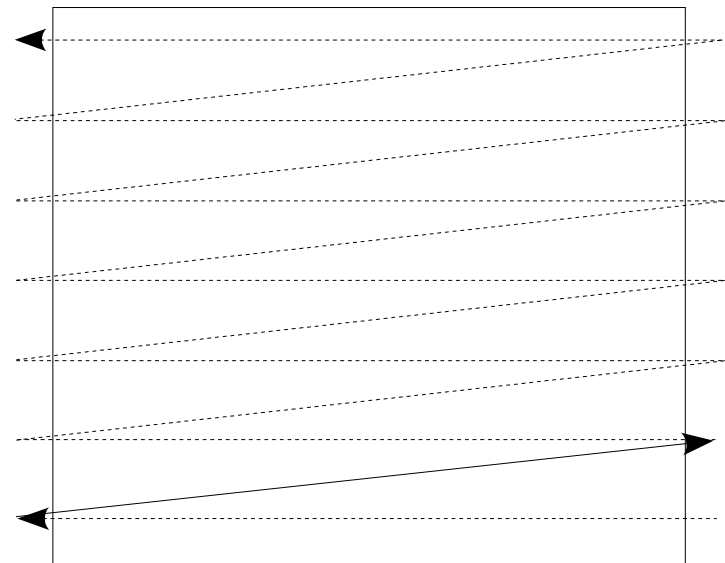
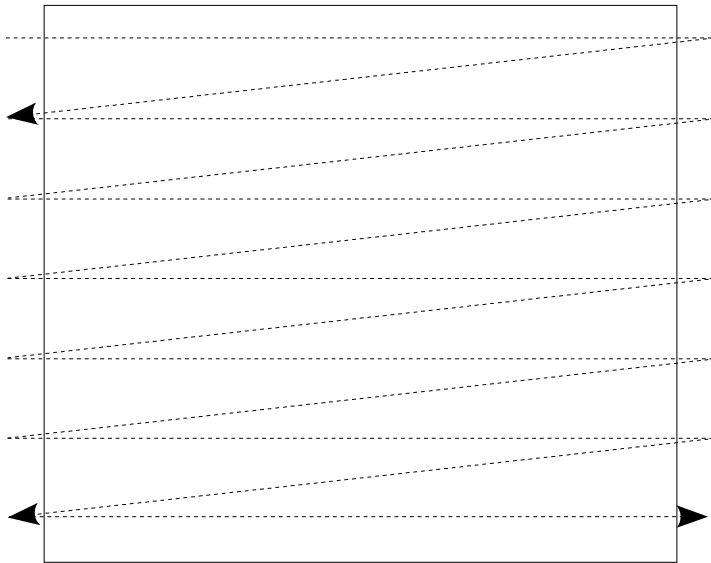
Otimizando a TD

- Aproveitar propriedades locais
 - Deduzir distâncias de um pixel a partir dos seus vizinhos
- Algoritmos $O(n^2)$ para métricas não-euclidianas
 - Desde 1966!
- **Problema:**
 - Métrica euclidiana x Domínio discreto
 - Algoritmos euclidianos $O(n^2)$
 - Apenas nos anos 90!



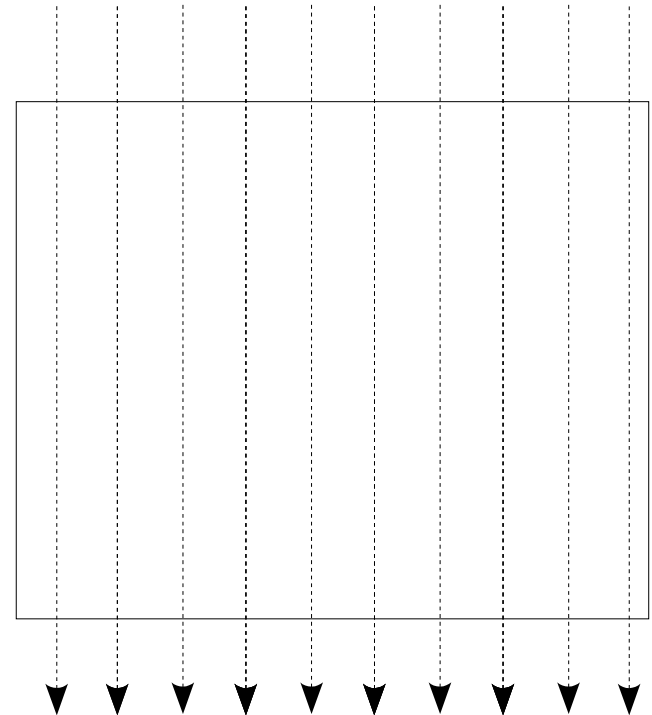
Tipos de Algoritmos

- Varredura Raster



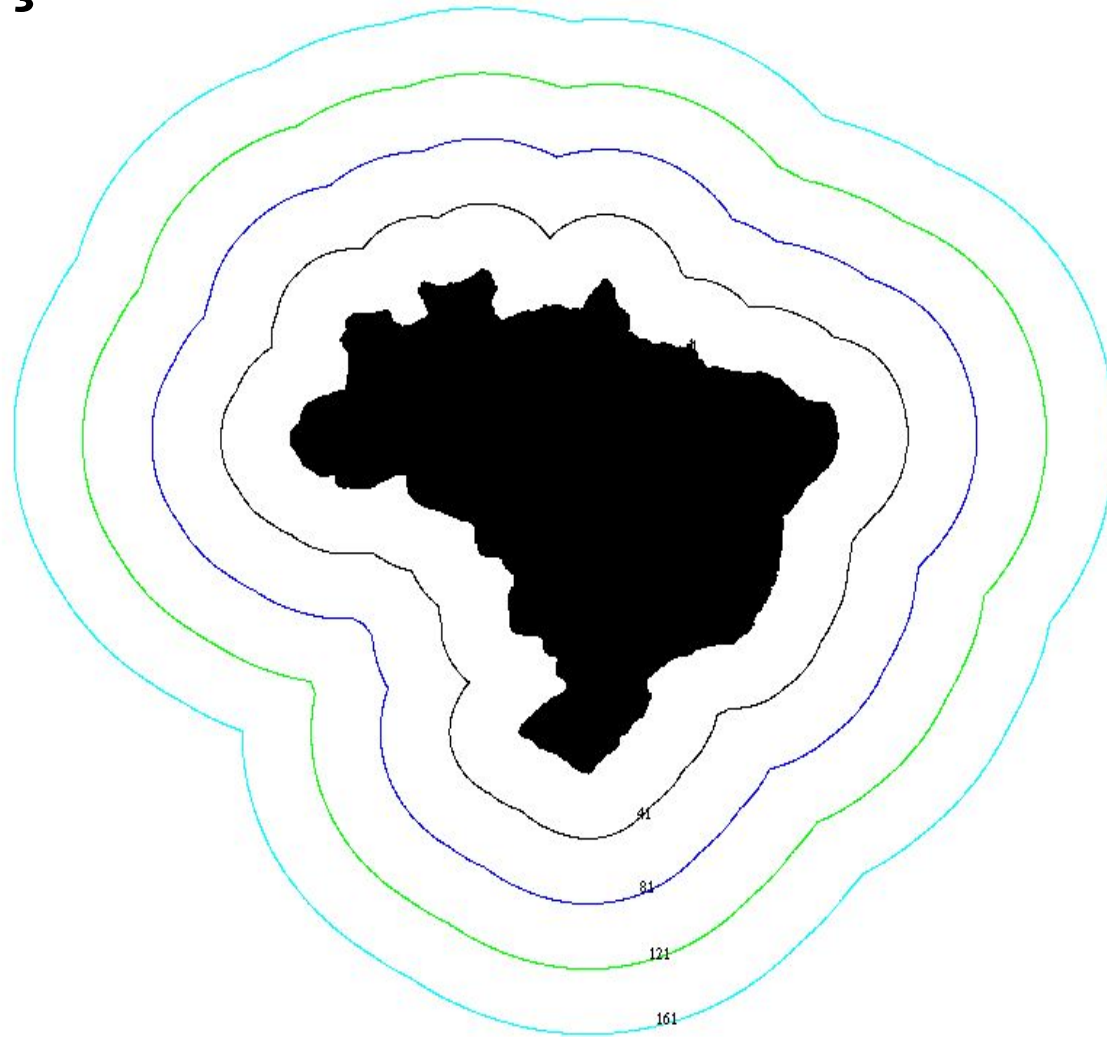
Tipos de Algoritmos

- Varredura Independente



Tipos de Algoritmos

- Propagação Ordenada



TDE por
Varredura Raster

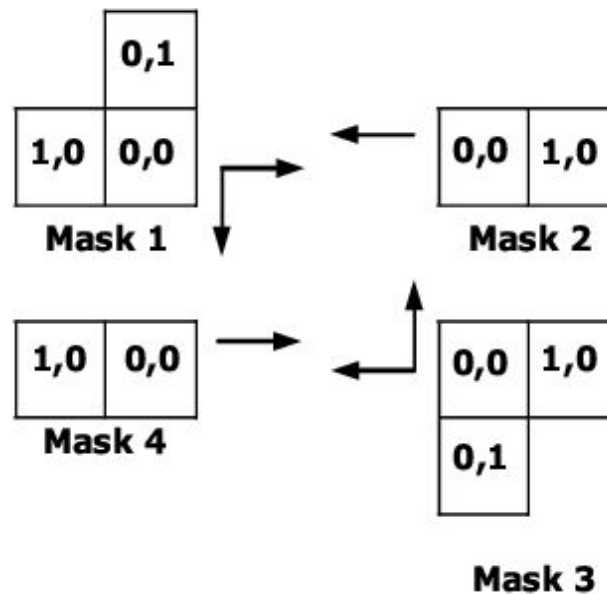
TDs Não Euclidianas

- Antepassados das TDEs eficientes
- Uso de máscaras de operação local
- Número fixo de passadas na imagem
- Rosenfeld 1966
 - *Cityblock*, *Chessboard*, Hexagonal, Octogonal
 - Úteis, porém muito distantes da Euclidiana
- Borgefors 1984
 - Métricas “Chamfer”
 - Pesos das máscaras escolhidos para aproximação ótima da TDE em 2 passadas



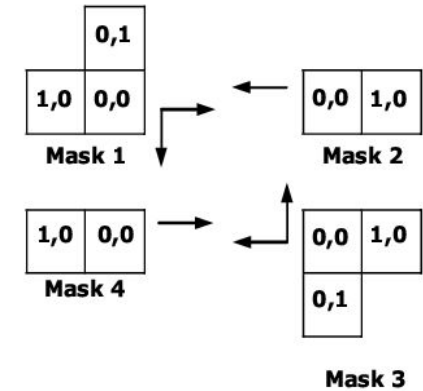
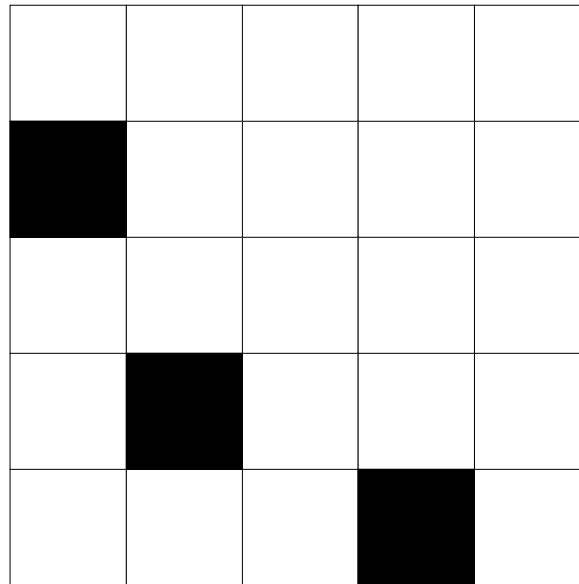
TDE de Danielsson

- Primeiro algoritmo eficiente (1980)
- O método euclidiano mais famoso
- Varredura Raster
- Trabalha com coordenadas (vetores)



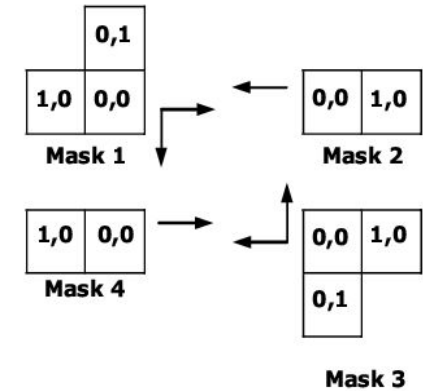
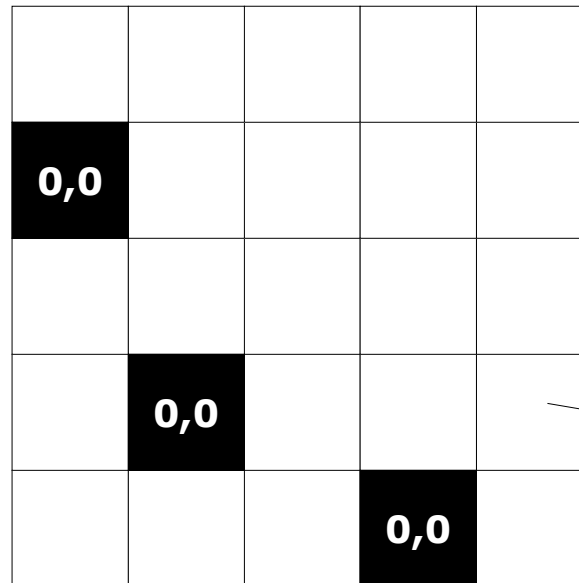
TDE de Danielsson

- Varredura Raster



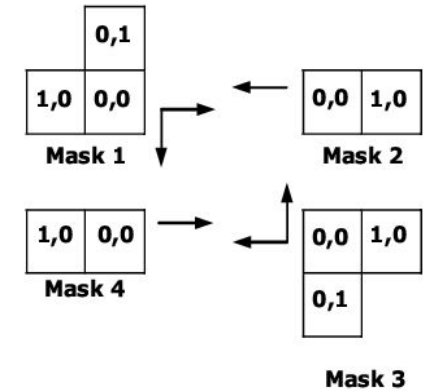
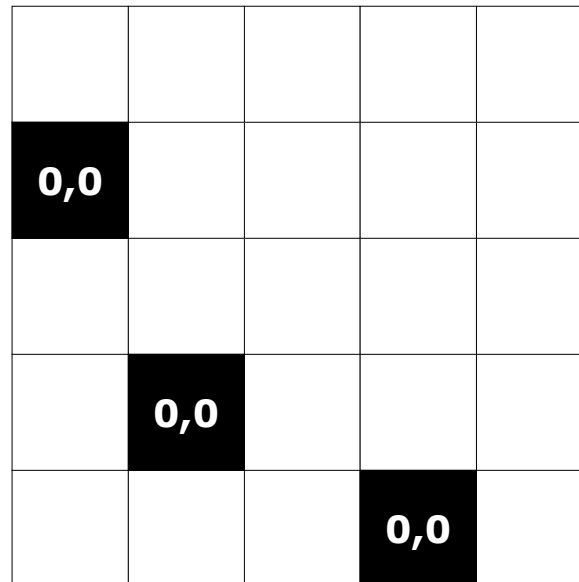
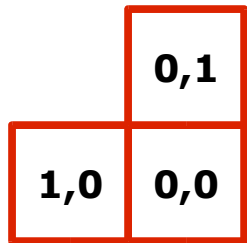
TDE de Danielsson

- Varredura Raster



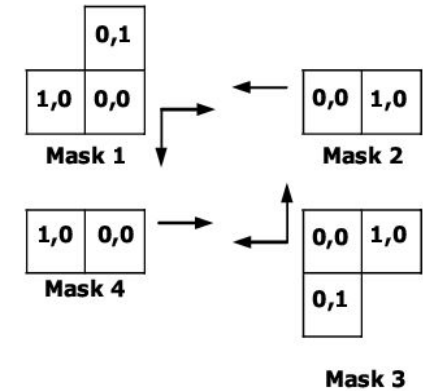
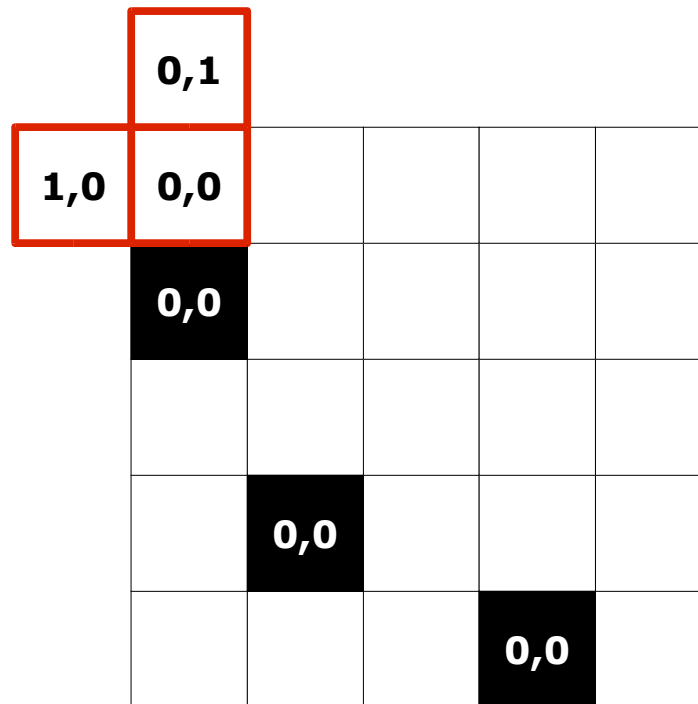
TDE de Danielsson

- Varredura Raster



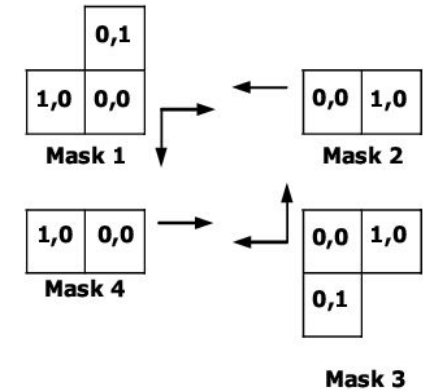
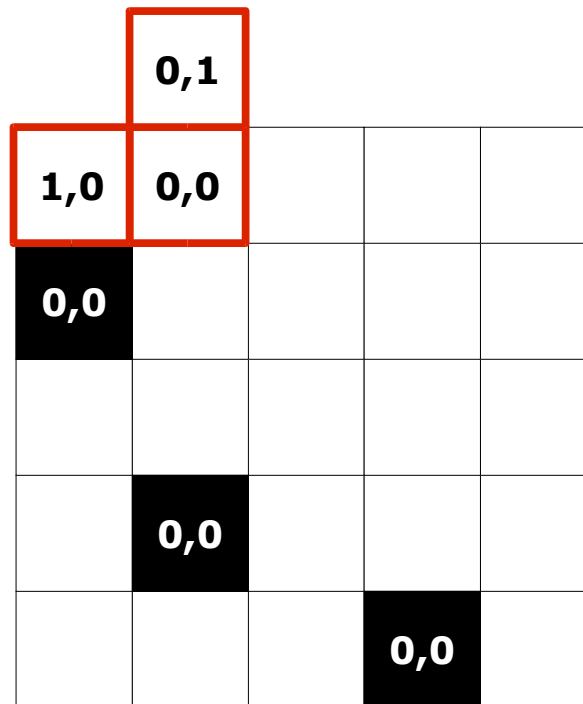
TDE de Danielsson

- Varredura Raster



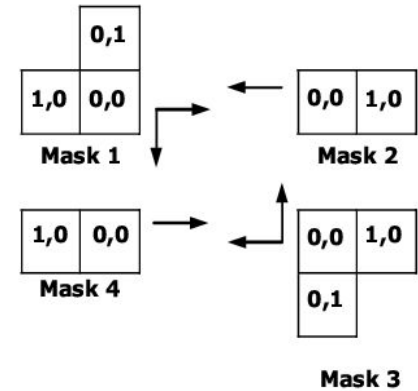
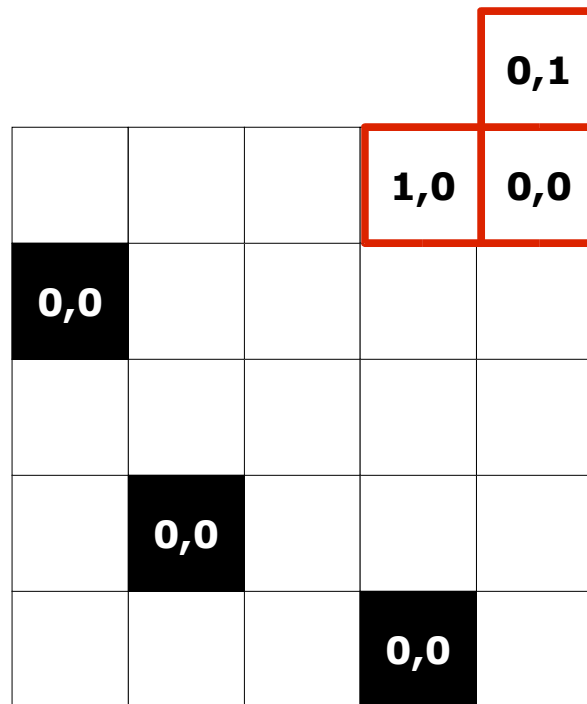
TDE de Danielsson

- Varredura Raster



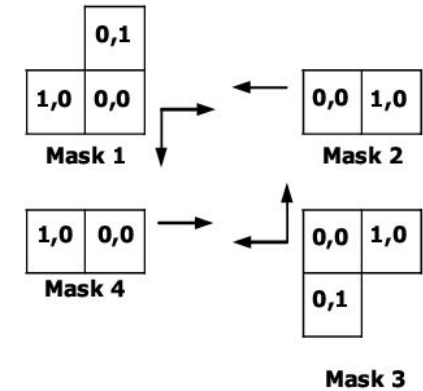
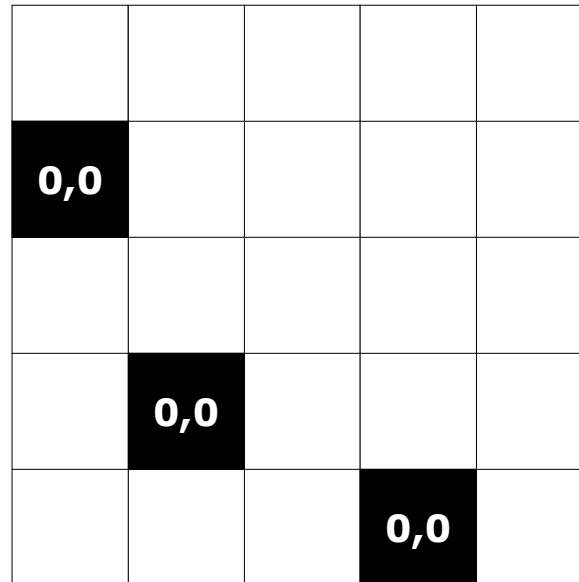
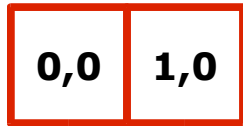
TDE de Danielsson

- Varredura Raster



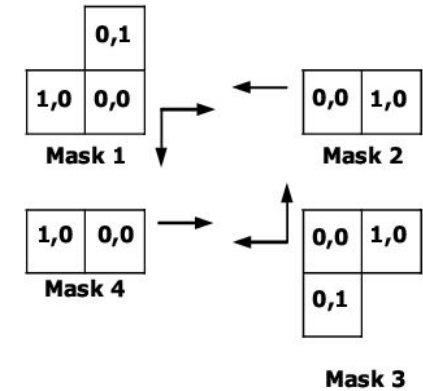
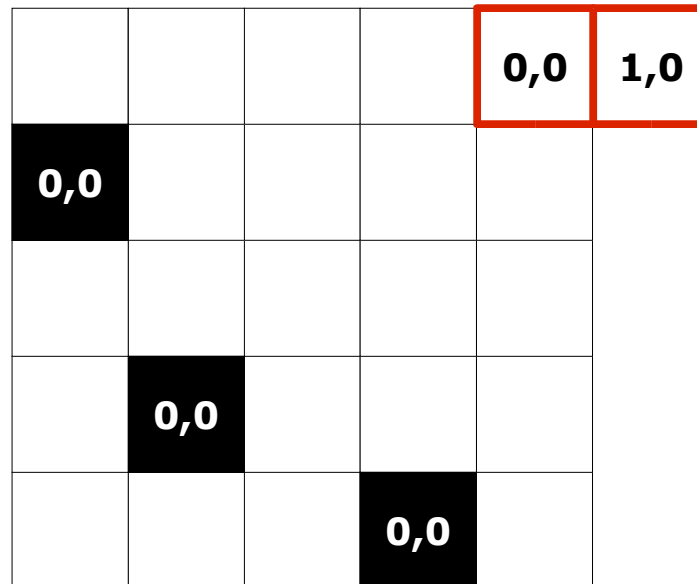
TDE de Danielsson

- Varredura Raster



TDE de Danielsson

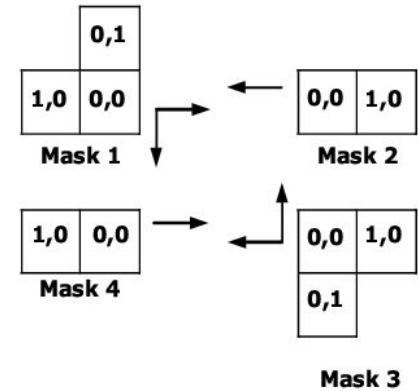
- Varredura Raster



TDE de Danielsson

- Varredura Raster

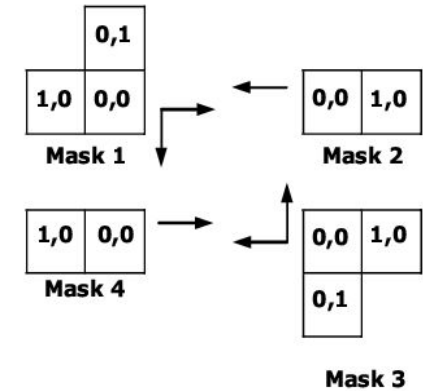
			0,0	1,0
0,0				
	0,0			
			0,0	



TDE de Danielsson

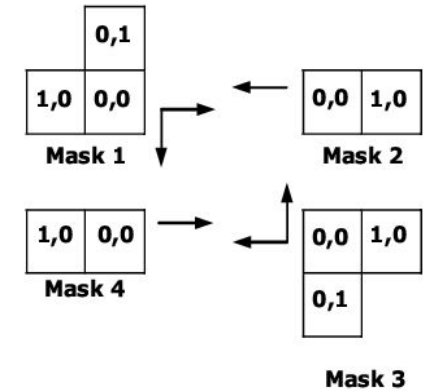
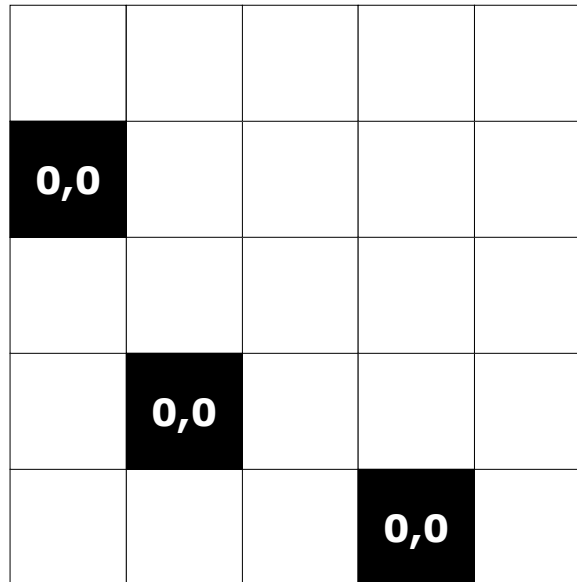
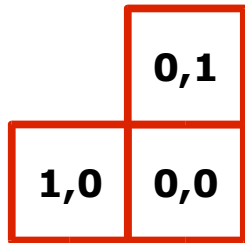
- Varredura Raster

0,0	1,0			
0,0				
	0,0			
			0,0	



TDE de Danielsson

- Varredura Raster

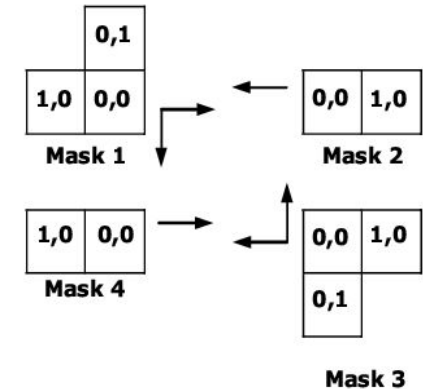


TDE de Danielsson

- Varredura Raster

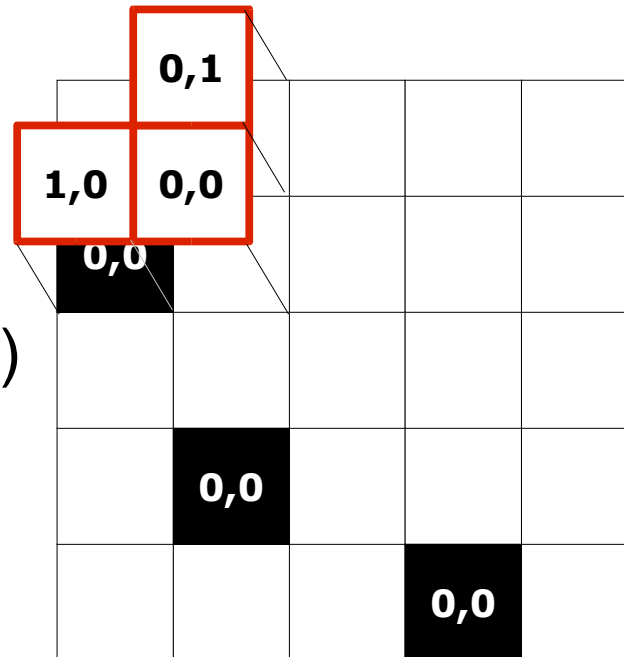


- Soma e guarda o menor valor

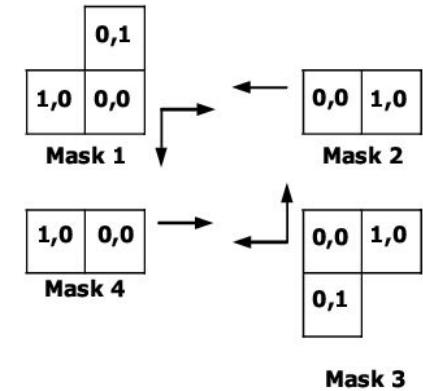


TDE de Danielsson

- Varredura Raster



$$(1,0) + (0,0) = (1,0)$$

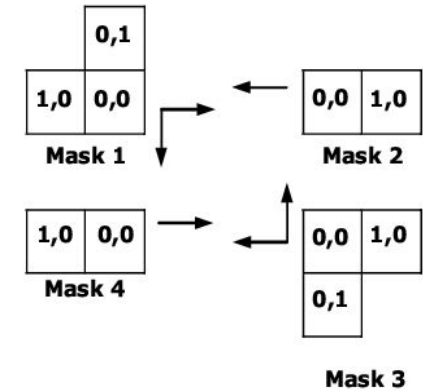


TDE de Danielsson

- Varredura Raster

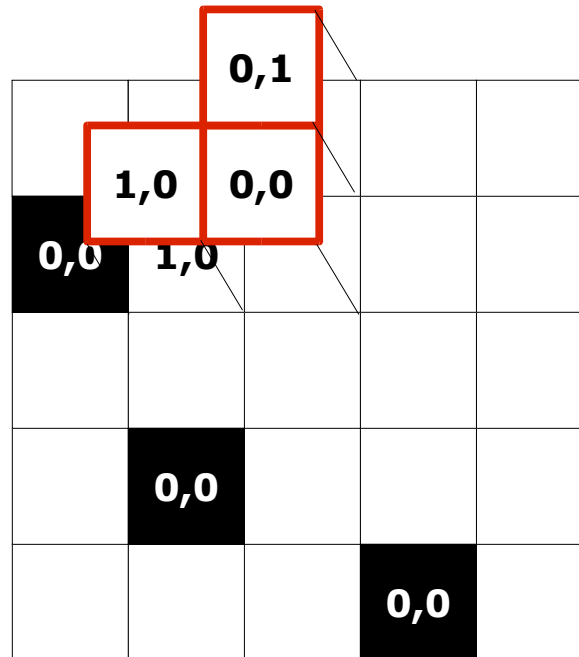
$$(1,0) + (0,0) = (1,0)$$

0,0	1,0			
	0,0			
			0,0	

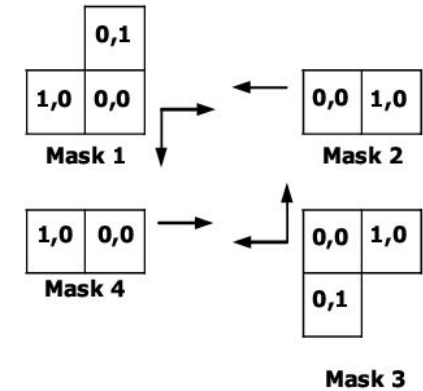


TDE de Danielsson

- Varredura Raster



$$(1,0) + (1,0) = (2,0)$$

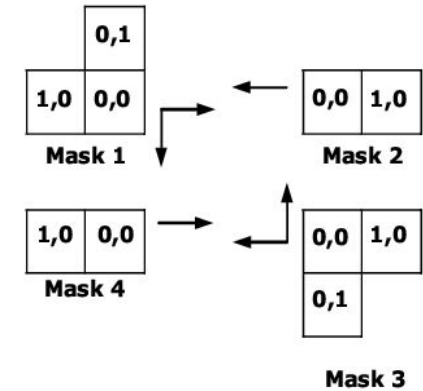


TDE de Danielsson

- Varredura Raster

$$(1,0) + (1,0) = (2,0)$$

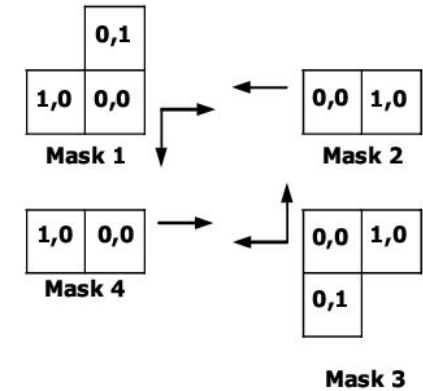
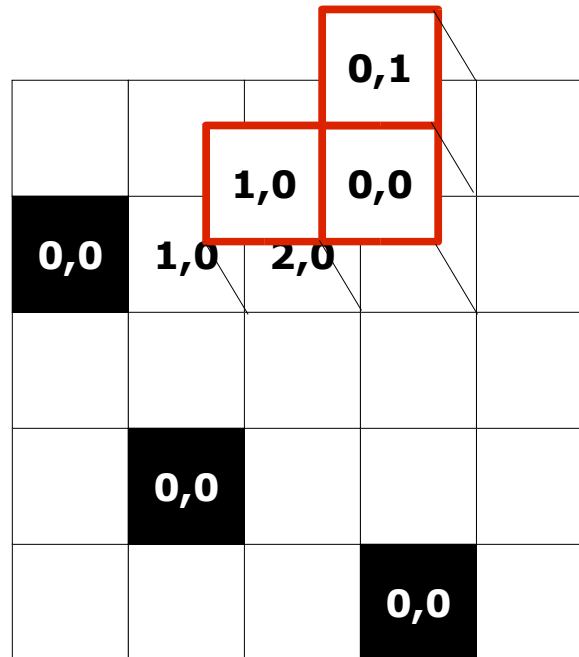
0,0	1,0	2,0		
	0,0			
			0,0	



TDE de Danielsson

- Varredura Raster

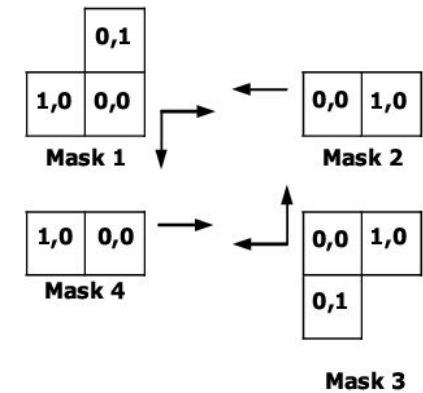
$$(2,0) + (1,0) = (3,0)$$



TDE de Danielsson

- Varredura Raster

0,0	1,0	2,0	3,0	4,0
	0,0			
			0,0	

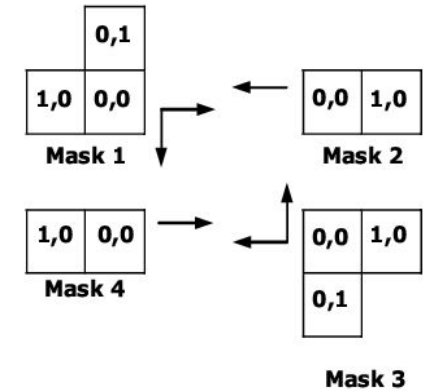


TDE de Danielsson

- Varredura Raster

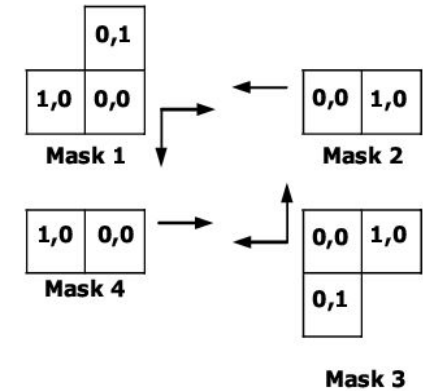
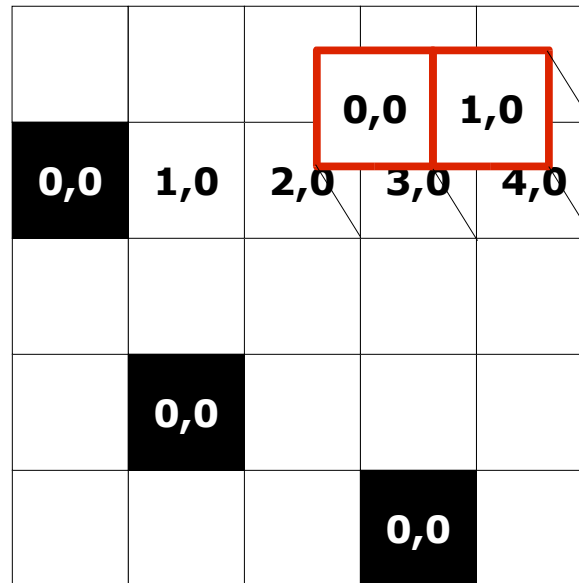


0,0	1,0	2,0	3,0	4,0
	0,0			
			0,0	



TDE de Danielsson

- Varredura Raster

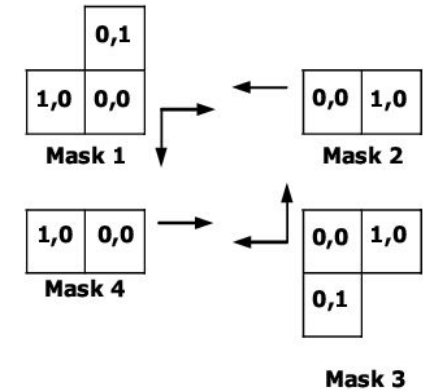
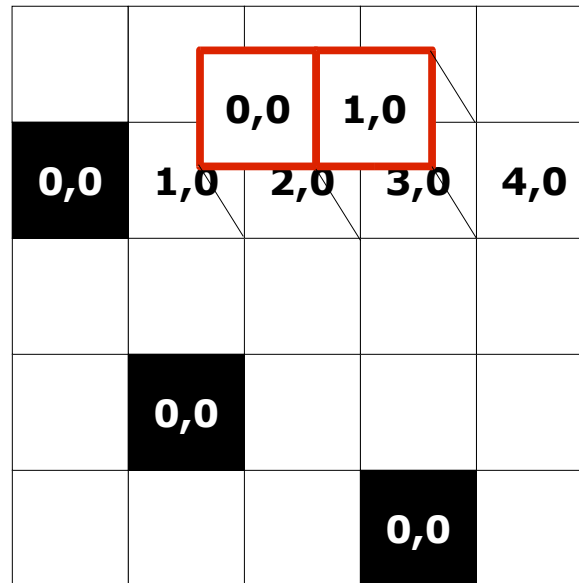


$$\|(3,0)\| < \|(1,0) + (4,0)\|$$



TDE de Danielsson

- Varredura Raster

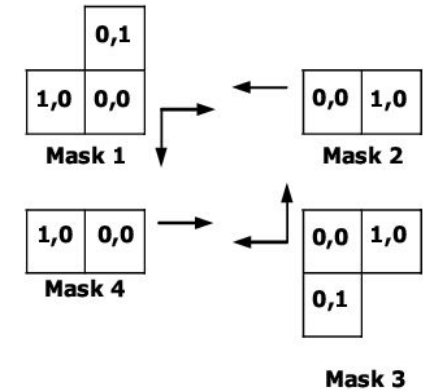
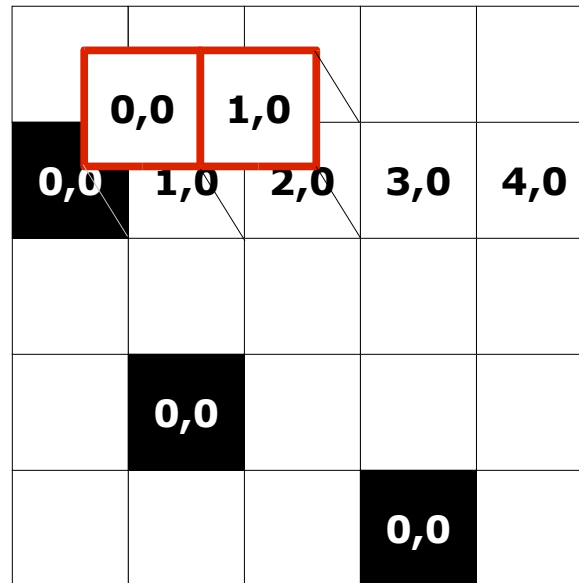


$$\|(2,0)\| < \|(1,0) + (3,0)\|$$



TDE de Danielsson

- Varredura Raster

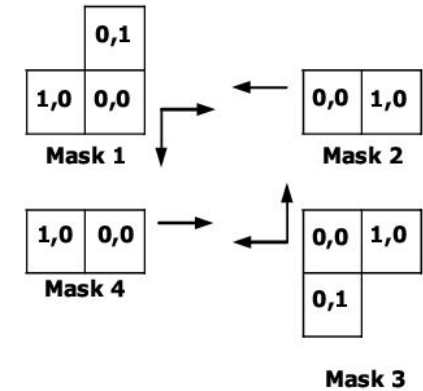
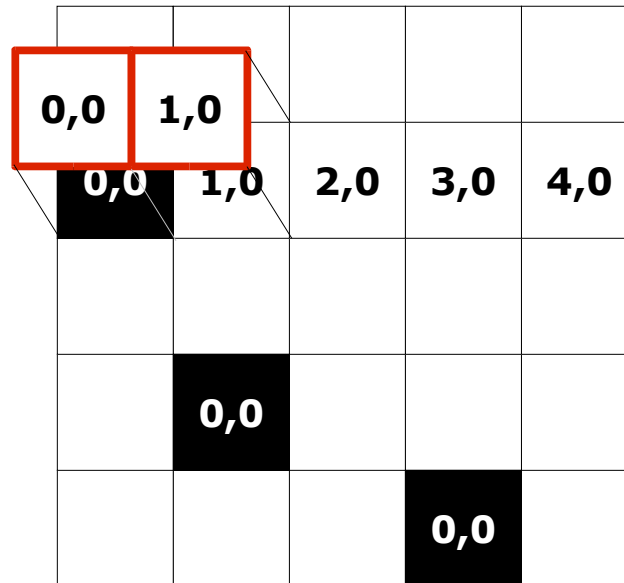


$$\|(1,0)\| < \|(1,0) + (2,0)\|$$



TDE de Danielsson

- Varredura Raster

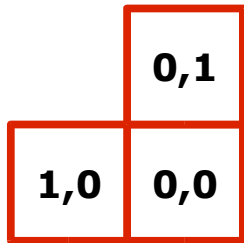


$$\|(0,0)\| < \|(1,0) + (1,0)\|$$

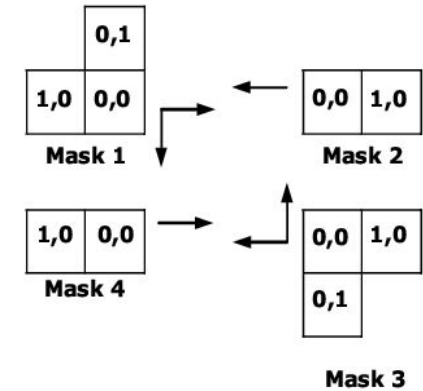


TDE de Danielsson

- Varredura Raster

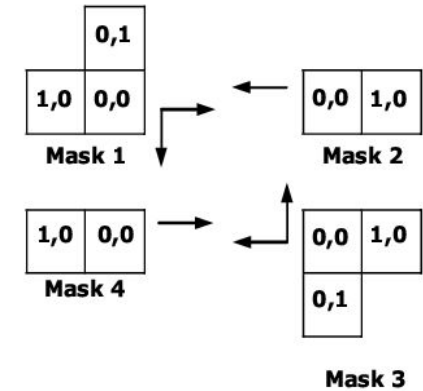


0,0	1,0	2,0	3,0	4,0
	0,0			
			0,0	



TDE de Danielsson

- Varredura Raster



$$||(0,1) + (0,0)|| < ||(0,0) + (\text{inf}, \text{inf})||$$

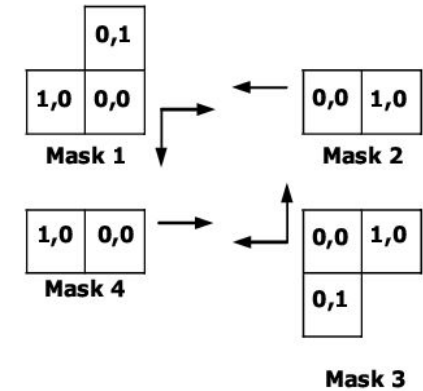


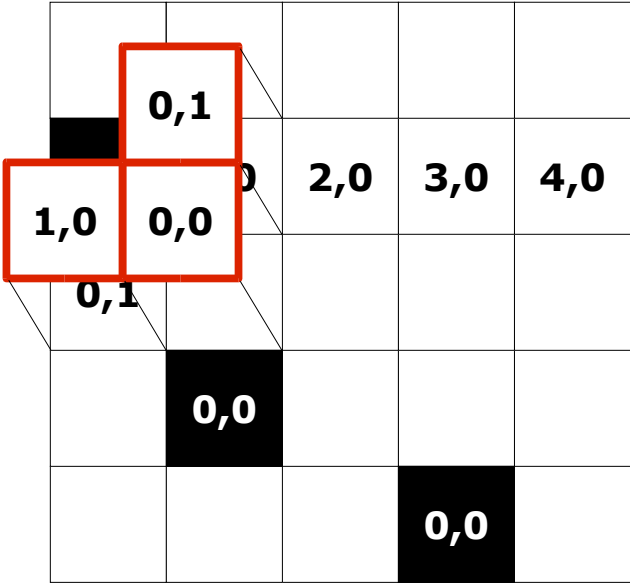
TDE de Danielsson

- Varredura Raster

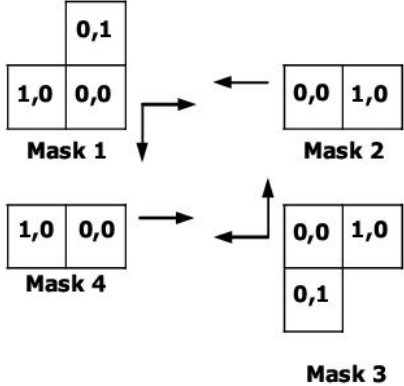
0,0	1,0	2,0	3,0	4,0
0,1				
	0,0			
			0,0	

$||(0,1)|| < \text{infinito}$





$$(1,0) + (0,1) = (1,1)$$

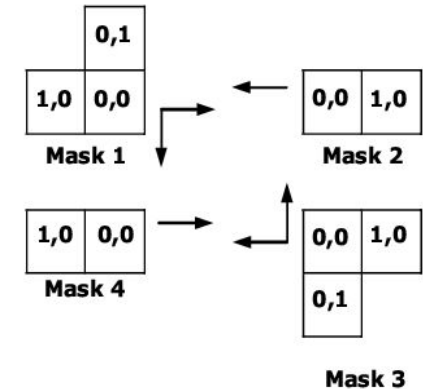


TDE de Danielsson

- Varredura Raster

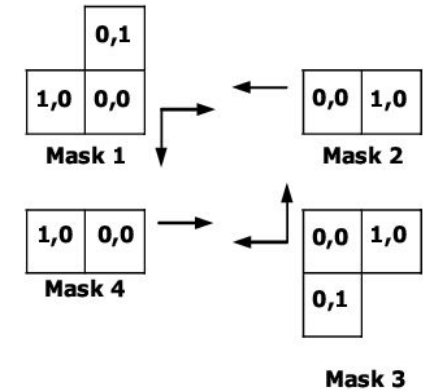
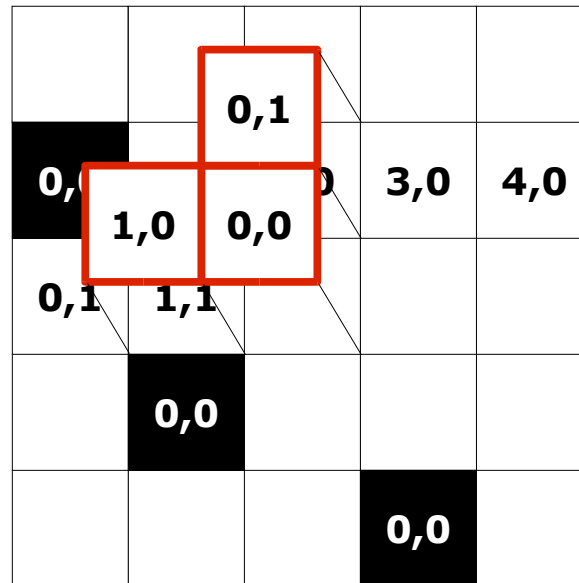
0,0	1,0	2,0	3,0	4,0
0,1	1,1			
	0,0			
			0,0	

$$(1,0) + (0,1) = (1,1)$$



TDE de Danielsson

- Varredura Raster



$$(1,0) + (1,1) = (2,1)$$
$$(0,1) + (2,0) = (2,1)$$

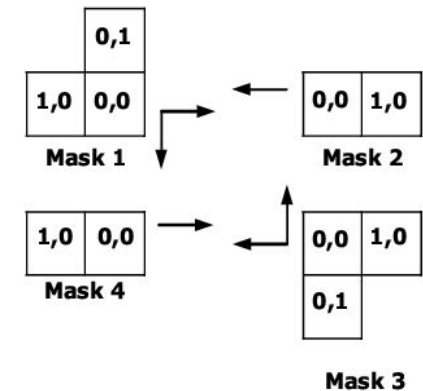


TDE de Danielsson

- Varredura Raster

0,0	1,0	2,0	3,0	4,0
0,1	1,1	2,1		
	0,0			
			0,0	

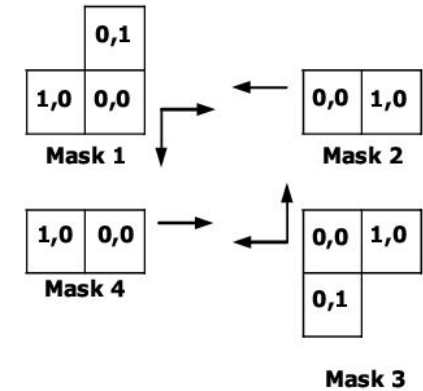
$$(1,0) + (1,1) = (2,1)$$
$$(0,1) + (2,0) = (2,1)$$



TDE de Danielsson

- Varredura Raster

0,0	1,0	2,0	3,0	4,0
0,1	1,1	2,1	3,1	4,1
	0,0			
			0,0	

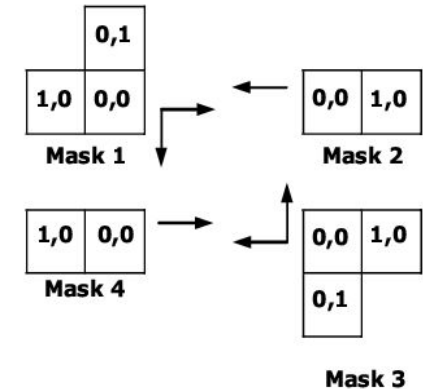


TDE de Danielsson

- Varredura Raster

0,0	1,0	2,0	3,0	4,0
0,1	1,1	2,1	3,1	4,1
0,2	0,0			
			0,0	

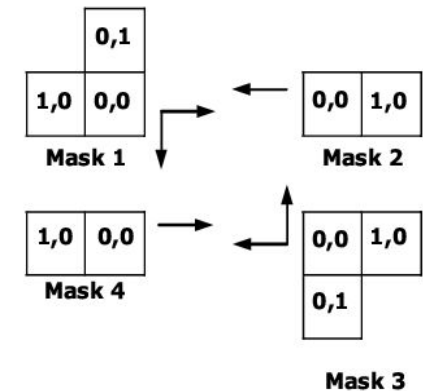
$$(0,1) + (0,1) = (0,2)$$



TDE de Danielsson

- Varredura Raster

0,0	1,0	2,0	3,0	4,0
0,1	1,1	2,1	3,1	4,1
0,2	0,0	1,0	2,0	3,0
			0,0	

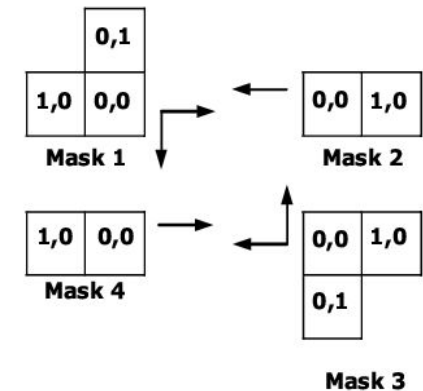


TDE de Danielsson

- Varredura Raster

0,0	1,0	2,0	3,0	4,0
0,1	1,1	2,1	3,1	4,1
0,2	0,0	1,0	2,0	3,0
			0,0	

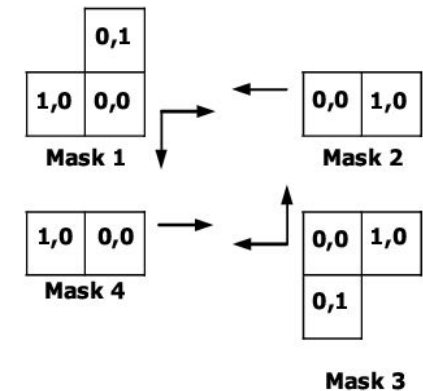
The table shows a 5x5 grid of coordinates (x,y). The cell at (3,1) is highlighted with a red box. The cell at (1,2) is highlighted with a black box. The cell at (4,4) is highlighted with a black box. The cell at (0,0) is highlighted with a black box.



TDE de Danielsson

- Varredura Raster

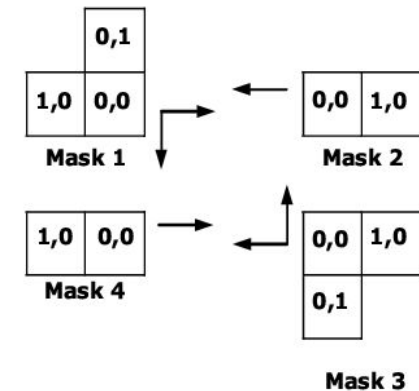
0,0	1,0	2,0	3,0	4,0
0,1	1,1	2,1	3,1	4,1
0,2	0,0	1,0	2,0	3,0
			0,0	



TDE de Danielsson

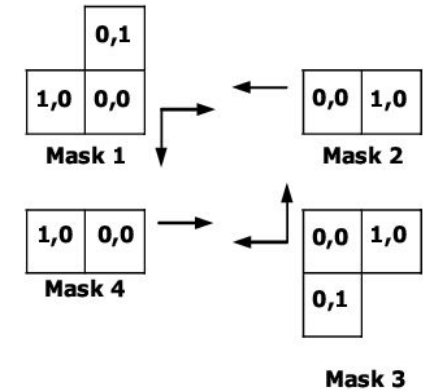
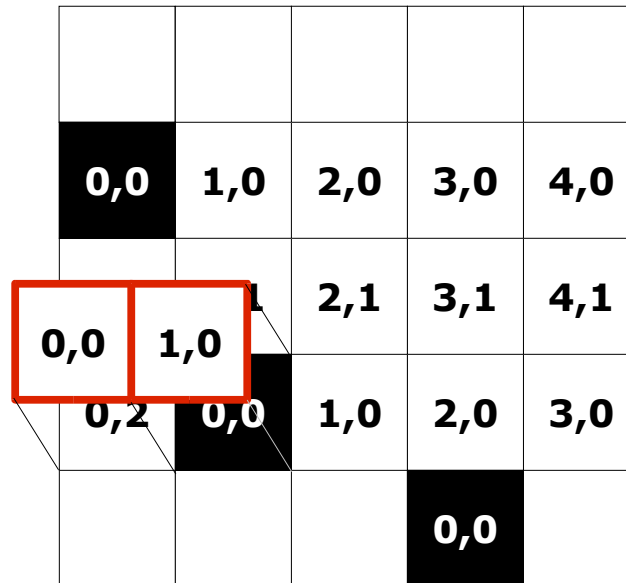
- Varredura Raster

0,0	1,0	2,0	3,0	4,0
0,1	0,0	1,0	3,1	4,1
0,2	0,0	1,0	2,0	3,0
			0,0	



TDE de Danielsson

- Varredura Raster



$$\|(0,0) + (0,2)\| < \|(1,0) + (0,0)\|$$

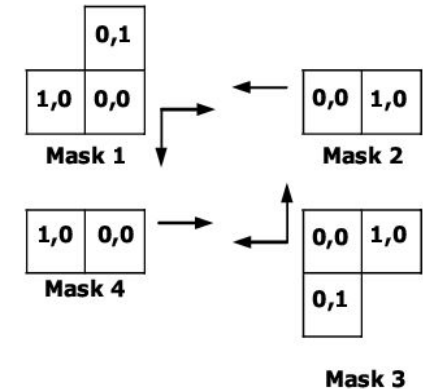


TDE de Danielsson

- Varredura Raster

0,0	1,0	2,0	3,0	4,0
0,1	1,1	2,1	3,1	4,1
1,0	0,0	1,0	2,0	3,0
			0,0	

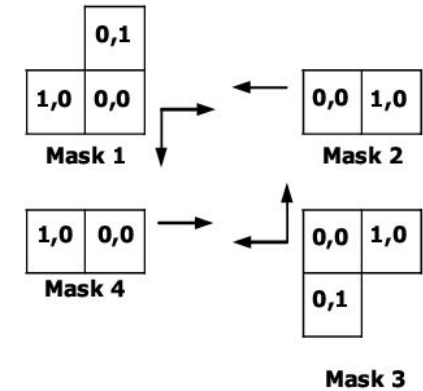
$\|(0,2)\| < \|(1,0)\|$



TDE de Danielsson

- Varredura Raster

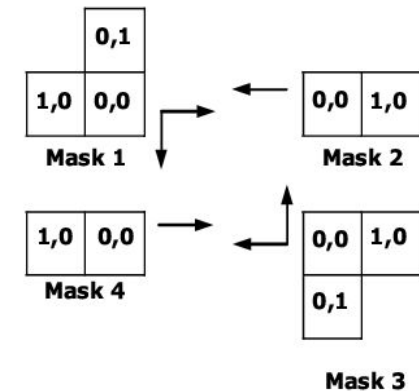
0,0	1,0	2,0	3,0	4,0
0,1	1,1	2,1	3,1	4,1
1,0	0,0	1,0	2,0	3,0
1,1	0,1	1,1	0,0	1,0



TDE de Danielsson

- Varredura Raster

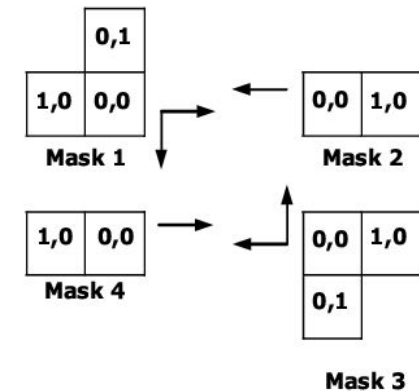
0,0	1,0	2,0	3,0	4,0
0,1	1,1	2,1	3,1	4,1
1,0	0,0	1,0	2,0	3,0
1,1	0,1	1,0	0,0	1,0



TDE de Danielsson

- Máscaras 3 e 4 de baixo para cima

0,1	1,1	2,1	3,1	4,1
0,0	1,0	2,0	3,0	1,3
0,1	0,1	1,1	0,2	1,2
1,0	0,0	1,0	0,1	1,1
1,1	0,1	1,0	0,0	1,0



TDE de Danielsson

- $d^2 = x^2 + y^2$

1	2	5	10	17
0	1	4	9	10
1	1	2	4	5
1	0	1	1	2
2	1	1	0	1

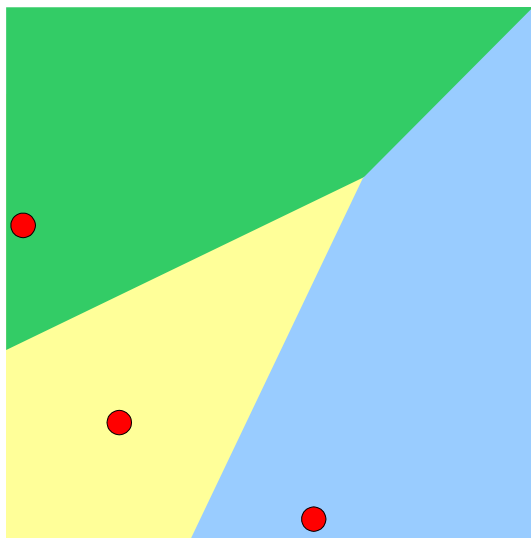


TDE de Danielsson

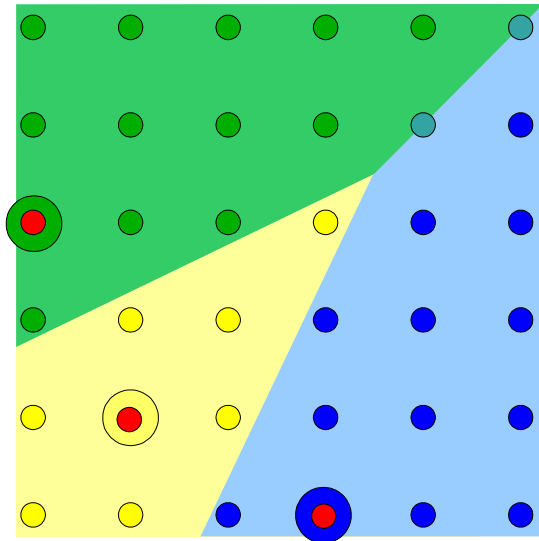
- 4 passadas em n^2 pixels
 - Complexidade $O(n^2)$
- Problema:
 - Resultado Inexato!

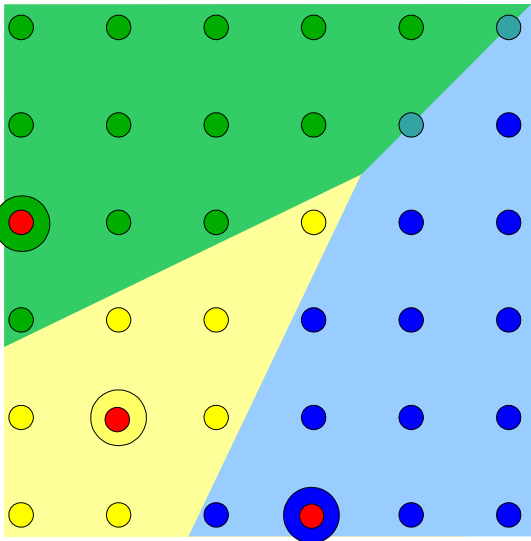


Erros das TDEs



Erros das TDEs

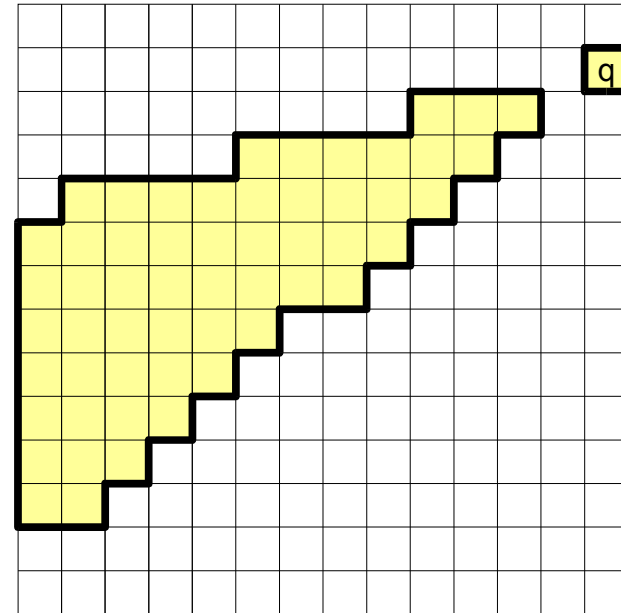
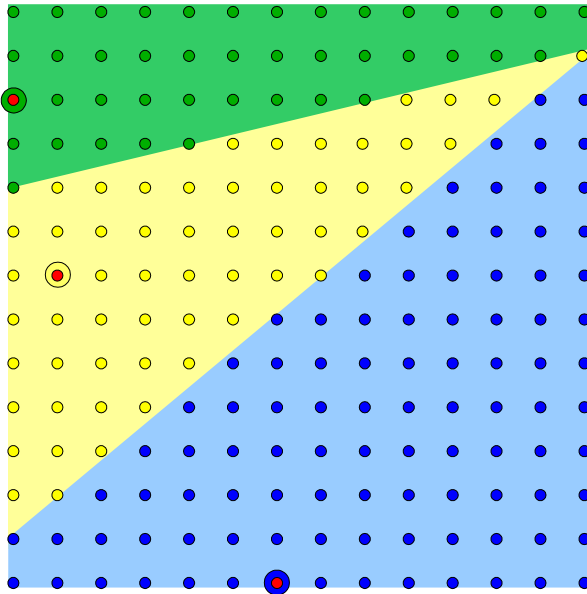




4	5	8	13	20	29
1	2	5	10	17	20
p1	1	4	q	10	13
1	1	2	4	5	8
1	p2	1	1	2	5
2	1	1	p3	1	4



Erros das TDEs



TDEs Exatas por Varredura Raster

- **1999: Cuisenaire**
- Correções sobre Danielsson
- Restaura conectividade das RVs
- Não foi provado se é exato ou linear
- Apenas alguns testes empíricos



TDEs Exatas por Varredura Raster

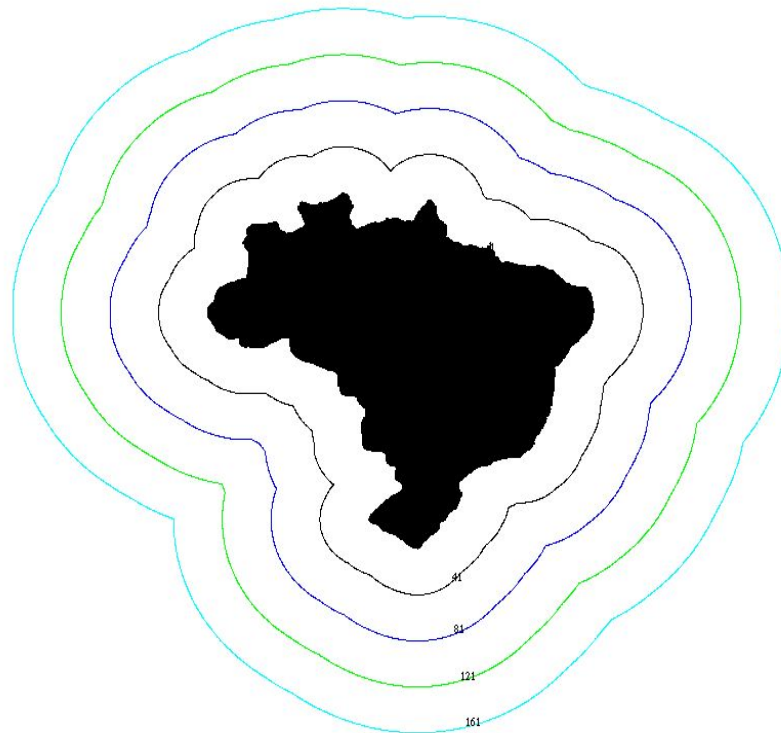
- **2004: Shih**
- Máscara 3x3
- 2 passadas
- Demonstrações de corretude e complexidade
- Nenhum teste empírico
- Nenhuma comparação com outros métodos



Algoritmos de Propagação

TDEs por Propagação

- A partir dos pixels pretos, propagar distâncias
- Base da Implementação:
 - Algoritmo de Dijkstra

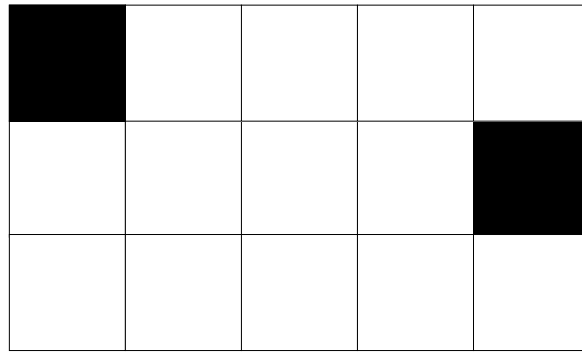


Algoritmo Básico

1. Inicialize a distância de todo pixel branco para um valor suficientemente alto.
2. Inicialize um conjunto auxiliar de pixels, denominado *Conjunto de Contorno*, para armazenar os pixels de fronteira.
3. Enquanto o Conjunto de Contorno não está vazio, faça:
 - (a) Remova um pixel do Conjunto de Contorno, denominado *pixel central*.
 - (b) Para cada vizinho branco do pixel central, faça:
 - i. Calcule uma nova distância para o vizinho, baseando-se na distância do pixel central.
 - ii. Se esta distância nova for menor que a distância corrente do vizinho:
 - atualize sua distância corrente como sendo a menor.
 - coloque esse vizinho no Conjunto de Contorno.

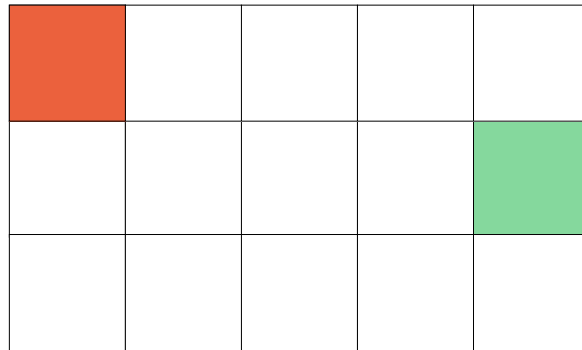


Algoritmo Básico



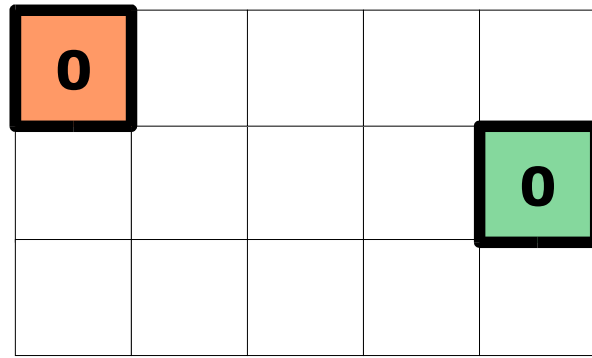
Algoritmo Básico

- Cada pixel fonte identificado por uma cor
 - Didática apenas



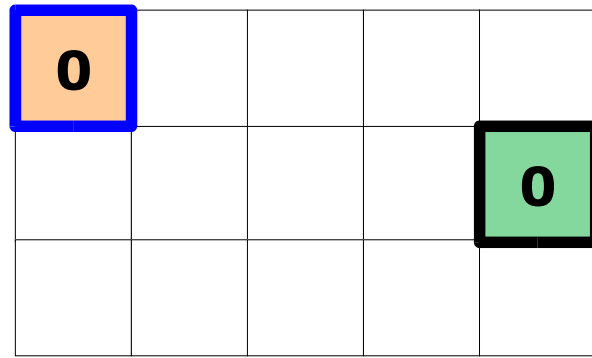
Algoritmo Básico

- Inserir pixels de interesse em uma fila com custo 0
- Demais pixels têm custo infinito



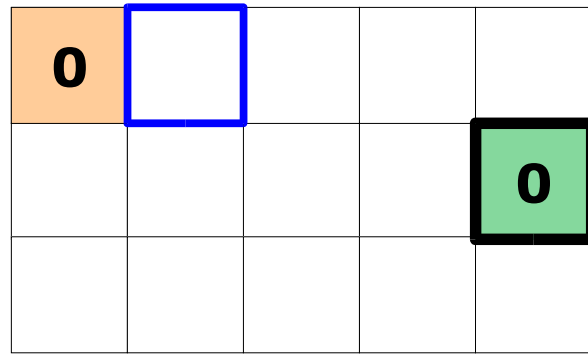
Algoritmo Básico

- Remova um pixel p da fila



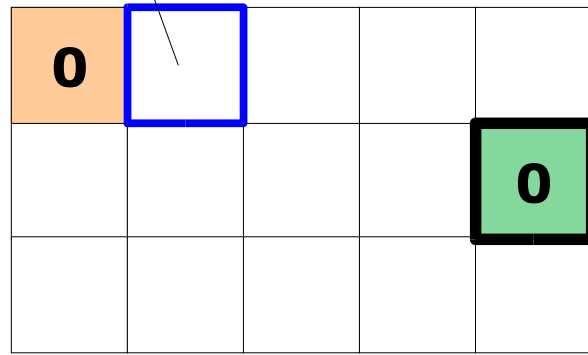
Algoritmo Básico

- Remova um pixel p da fila
- ➔ • Para cada vizinho q



Algoritmo Básico

$$D'(q) = 1$$

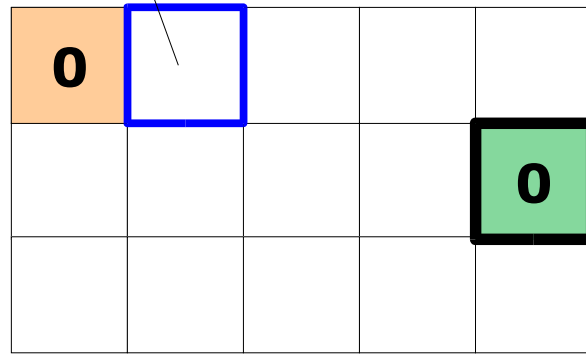


- Remova um pixel p da fila
- Para cada vizinho q
 - ➔ – Deduza $D'(q)$ usando $D(p)$



Algoritmo Básico

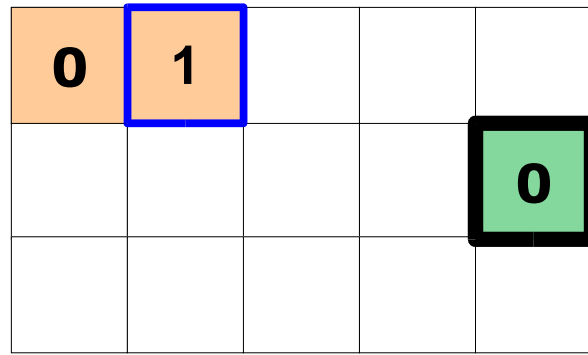
$$D'(q) = 1 < \text{infinito}$$



- Remova um pixel p da fila
- Para cada vizinho q
 - Deduza $D'(q)$ usando $D(p)$
 - – Se $D'(q) < D(q)$
 - Atualize $D(q)$
 - Insira q na fila



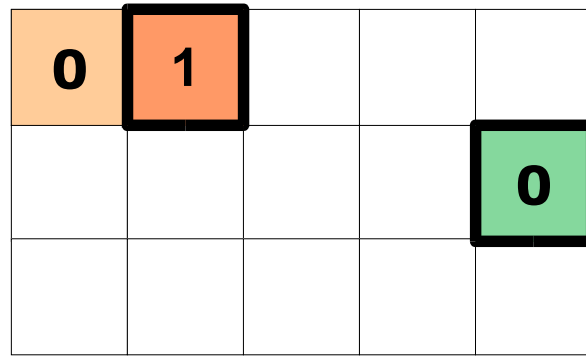
Algoritmo Básico



- Remova um pixel p da fila
- Para cada vizinho q
 - Deduza $D'(q)$ usando $D(p)$
 - Se $D'(q) < D(q)$
 - ➔ • Atualize $D(q)$
 - Insira q na fila



Algoritmo Básico



- Remova um pixel p da fila
 - Para cada vizinho q
 - Deduza $D'(q)$ usando $D(p)$
 - Se $D'(q) < D(q)$
 - Atualize $D(q)$
- • Insira q na fila



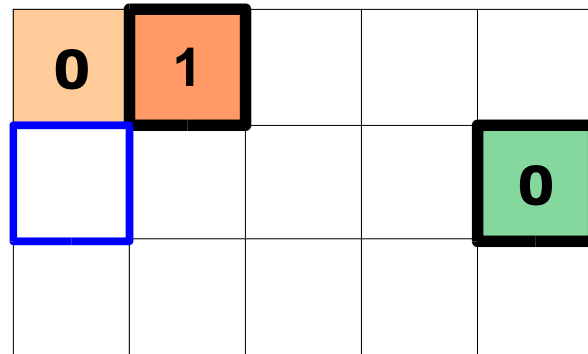
Algoritmo Básico

- Remova um pixel p da fila

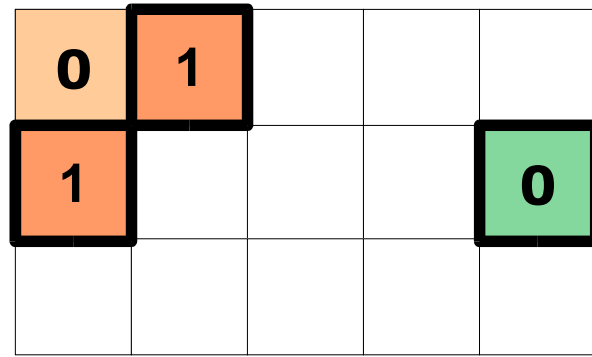


- Para cada vizinho q

- Deduza $D'(q)$ usando $D(p)$
- Se $D'(q) < D(q)$
 - Atualize $D(q)$
 - Insira q na fila



Algoritmo Básico

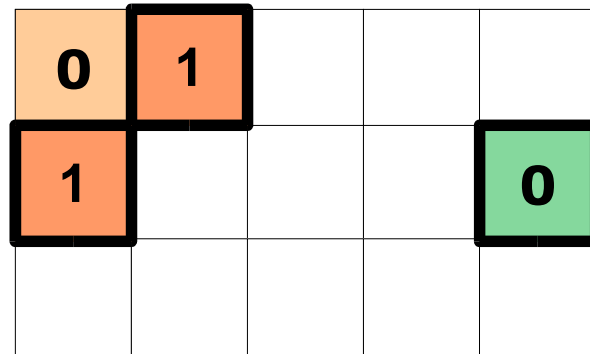


- Remova um pixel p da fila
 - Para cada vizinho q
 - Deduza $D'(q)$ usando $D(p)$
 - Se $D'(q) < D(q)$
 - Atualize $D(q)$
- • Insira q na fila



Algoritmo Básico

- ➔
- Remova um pixel p da fila
 - Para cada vizinho q
 - Deduza $D'(q)$ usando $D(p)$
 - Se $D'(q) < D(q)$
 - Atualize $D(q)$
 - Insira q na fila



Algoritmo Básico

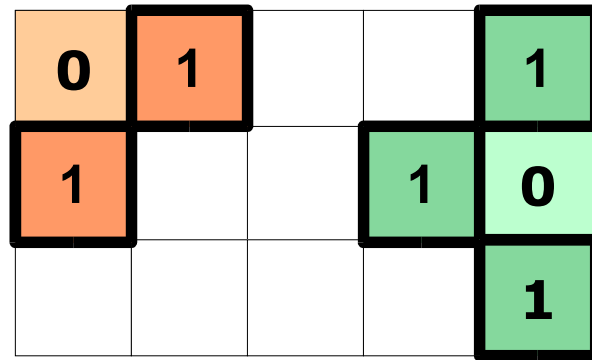
- ➔
- Remova um pixel p da fila
 - Para cada vizinho q
 - Deduza $D'(q)$ usando $D(p)$
 - Se $D'(q) < D(q)$
 - Atualize $D(q)$
 - Insira q na fila

0	1			
1				0



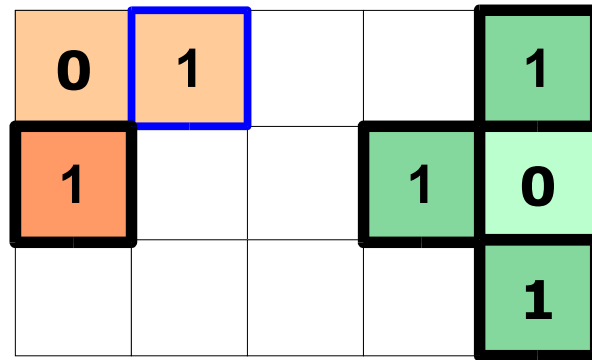
Algoritmo Básico

- Remova um pixel p da fila
- ➔ • Para cada vizinho q
 - Deduza $D'(q)$ usando $D(p)$
 - Se $D'(q) < D(q)$
 - Atualize $D(q)$
- ➔ • Insira q na fila



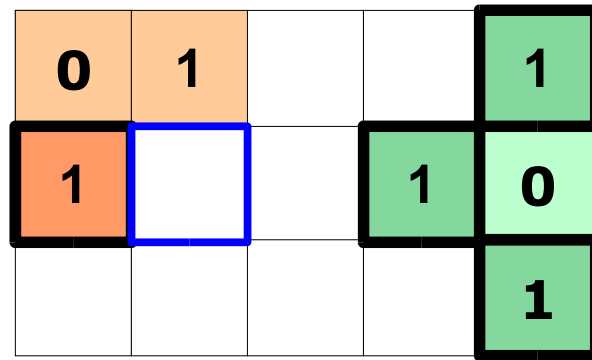
Algoritmo Básico

- ➔ ● Remova um pixel p da fila
- Para cada vizinho q
 - Deduza $D'(q)$ usando $D(p)$
 - Se $D'(q) < D(q)$
 - Atualize $D(q)$
 - Insira q na fila



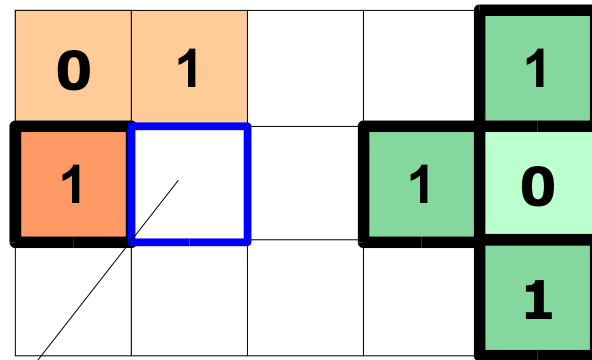
Algoritmo Básico

- Remova um pixel p da fila
- ➔ • Para cada vizinho q
 - Deduza $D'(q)$ usando $D(p)$
 - Se $D'(q) < D(q)$
 - Atualize $D(q)$
 - Insira q na fila



Algoritmo Básico

- Remova um pixel p da fila
- Para cada vizinho q
 - ➔ – Deduza $D'(q)$ usando $D(p)$
 - Se $D'(q) < D(q)$
 - Atualize $D(q)$
 - Insira q na fila



$$D'(q) = 1^2 + 1^2 = 2$$



Algoritmo Básico

0	1			1
1	2		1	0
				1

- Remova um pixel p da fila
 - Para cada vizinho q
 - Deduza $D'(q)$ usando $D(p)$
 - Se $D'(q) < D(q)$
 - Atualize $D(q)$
- • Insira q na fila



Algoritmo Básico

0	1	4		1
1	2		1	0
				1

- Remova um pixel p da fila
 - Para cada vizinho q
 - Deduza $D'(q)$ usando $D(p)$
 - Se $D'(q) < D(q)$
 - Atualize $D(q)$
- • Insira q na fila



Algoritmo Básico

0	1	4		1
1	2		1	0
4				1

- Remova um pixel p da fila
 - Para cada vizinho q
 - Deduza $D'(q)$ usando $D(p)$
 - Se $D'(q) < D(q)$
 - Atualize $D(q)$
- • Insira q na fila



Algoritmo Básico

0	1	4	2	1
1	2	4	1	0
4			2	1

- Remova um pixel p da fila
 - Para cada vizinho q
 - Deduza $D'(q)$ usando $D(p)$
 - Se $D'(q) < D(q)$
 - Atualize $D(q)$
- • Insira q na fila



Algoritmo Básico

0	1	4	2	1
1	2	4	1	0
4	5	5	2	1

- Remova um pixel p da fila
 - Para cada vizinho q
 - Deduza $D'(q)$ usando $D(p)$
 - Se $D'(q) < D(q)$
 - Atualize $D(q)$
- • Insira q na fila



Algoritmo Básico

0	1	4	2	1
1	2	4	1	0
4	5	5	2	1

- Remova um pixel p da fila
 - Para cada vizinho q
 - Deduza $D'(q)$ usando $D(p)$
 - Se $D'(q) < D(q)$
 - Atualize $D(q)$
- • Insira q na fila



Algoritmo Básico

0	1	4	2	1
1	2	4	1	0
4	5	5	2	1

- Remova um pixel p da fila
 - Para cada vizinho q
 - Deduza $D'(q)$ usando $D(p)$
 - Se $D'(q) < D(q)$
 - Atualize $D(q)$
- ➔ • Insira q na fila



TDEs por Propagação

- Gargalo:
 - Escolher pixel de menor custo da lista
- Em imagens, os custos são:
 - Inteiros positivos
 - Limitados
- Solução:
 - Utilizar bucket sort
- Denota-se PSN:
 - Essa TDE com vizinhança fixa

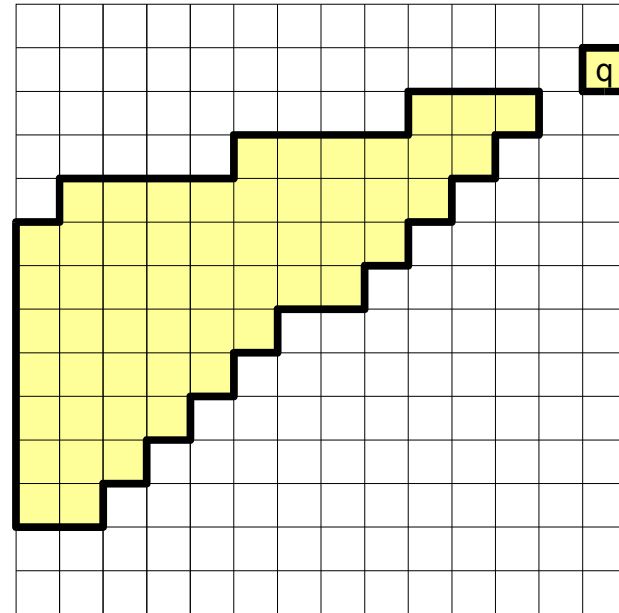
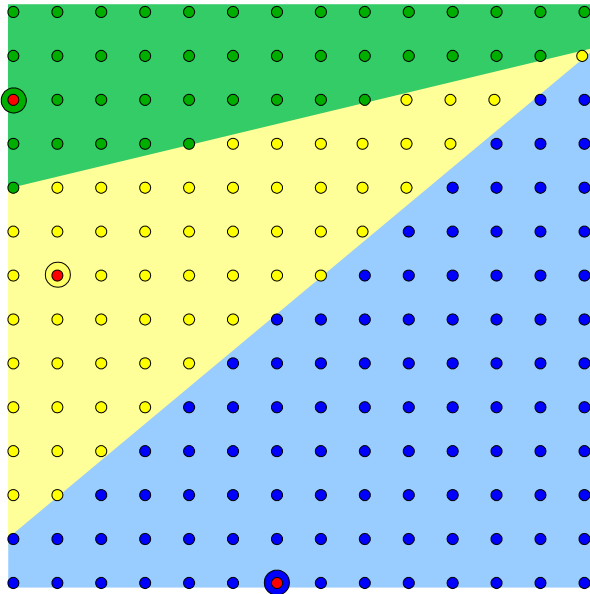


TDEs por Propagação

- Problema:
 - Uso de vizinhança fixa acarreta erros!
- Solução Eficiente:
 - Usar vizinhanças maiores onde necessário
 - Método de Cuisenaire, 1999



TDEs por Propagação



Método de Cuisenaire

- Problemas:
 - Eficiência não demonstrada
 - Acredita-se: $O(n^2)$
 - Exatidão não demonstrada
- Foram realizados testes empíricos
 - Porém insuficientes
- Detalhes omissos ou errados no artigo



Outros Métodos de Propagação

- **Image Foresting Transform (IFT)**
 - 2002
- Abstração de vários problemas de imagens usando grafos
- Resolvidos eficientemente por Dijkstra
- TDE por IFT
 - Atualmente é o PSN
 - Logo, é inexato
- Vantagem: Teoria sólida e código eficiente e unificado



Outros Métodos de Propagação

- **Eggers 1998**
- Utiliza duas listas
- $O(n^3)$
 - Mas pode ser rápido em média
- Exatidão demonstrada
- Testes empíricos
 - Apenas uma idéia geral
 - Seriam necessários mais testes



TDE por
Varredura Independente

Método de Maurer

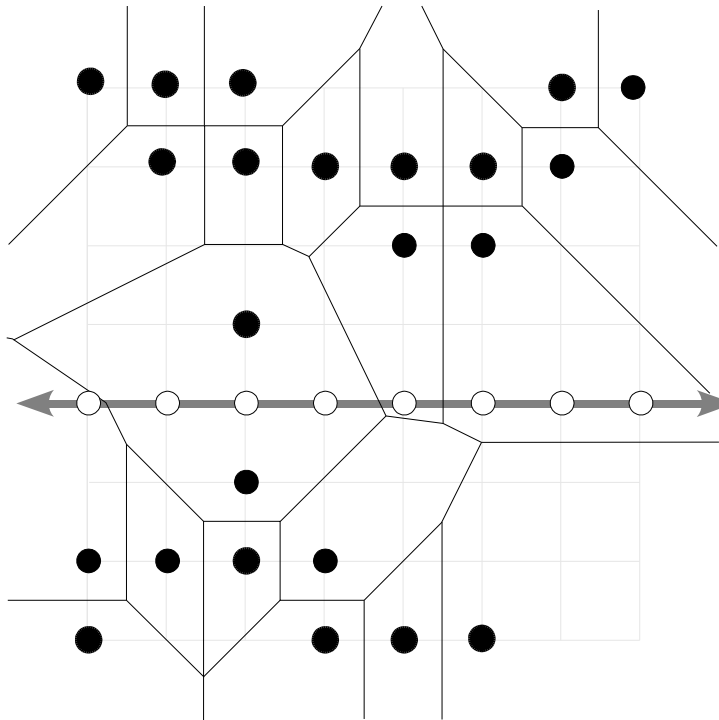
- Primeiro passo: TDE 1D

0	0	0	0	0	0	0	0	0
0	0	0	0	0	0	0	0	0
0	0	0	1	1	1	0	0	0
0	0	1	4	4	4	1	0	0
0	0	4	9	9	9	4	0	0
0	0	1	4	4	4	1	0	0
0	0	0	1	1	1	0	0	0
0	0	0	0	0	0	0	1	0
0	0	0	0	0	0	1	0	0



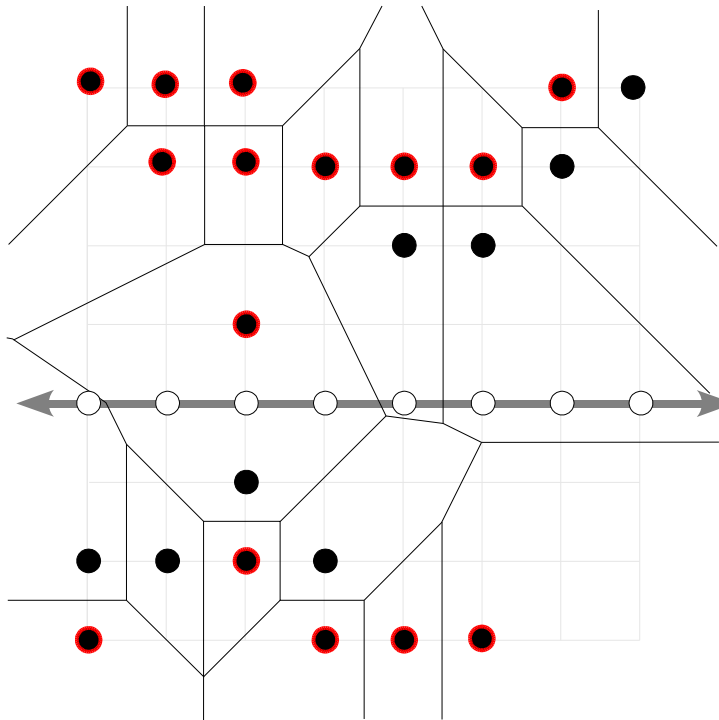
Método de Maurer

- Segredo: 2o. passo



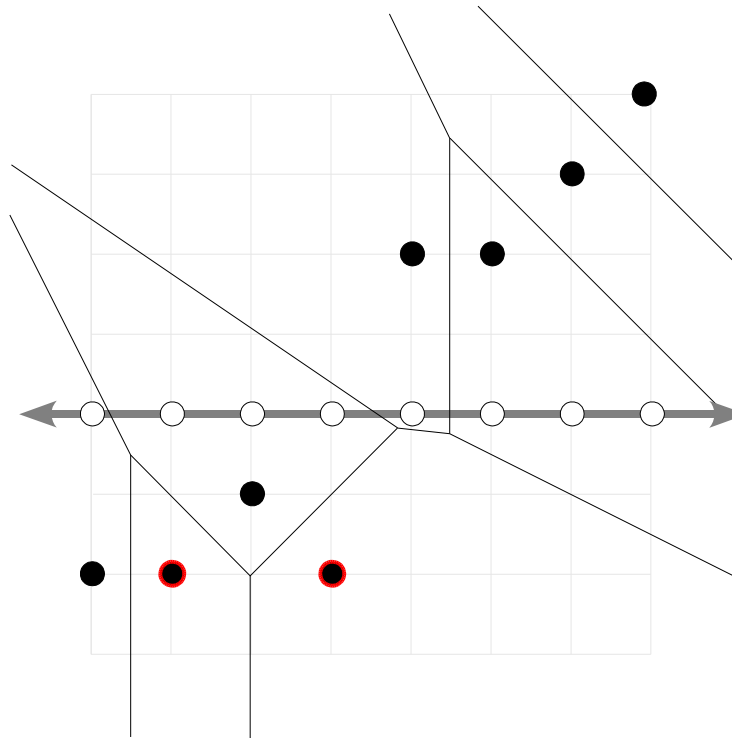
Método de Maurer

- Segredo: 2o. passo



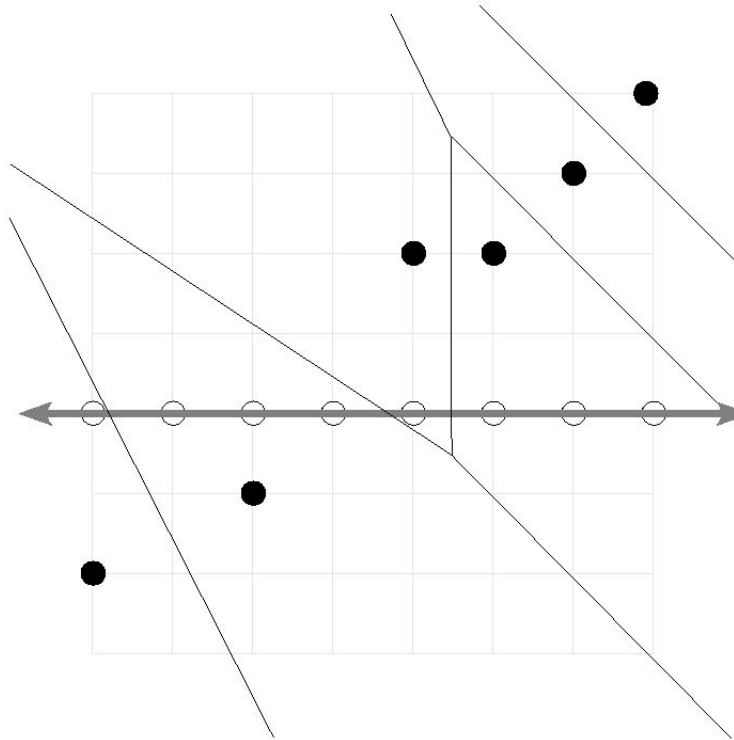
Método de Maurer

- Segredo: 2o. passo



Método de Maurer

- Segredo: 2o. passo



Método de Maurer

- Provado ser linear
- Análise Empírica
 - Relatada brevemente
 - Nada mostrado
- Extensível a n-D
- Paralelizável



Outros algoritmos

- **Saito 1994**
- 2a etapa:
 - Restringe pixels a serem buscados usando TDE 1D da 1a etapa
 - Propriedades baseadas em interseção de parábolas restringem ainda mais a busca
- Fácil de implementar
- Extensível a n-D
- $O(n^3)$, mas parece ser rápido na média



Outros algoritmos

- **Lotufo-Zampirolli, 2001**
- Morfologia Matemática
- Decomposição de elemento estruturante euclidiano em elementos 1D
- Erosões eficientes usando filas 1D
- Acredita-se:
 - $O(n^3)$
- Testes publicados são extremamente positivos



Avaliação Comparativa

Metodologia

Algoritmos testados

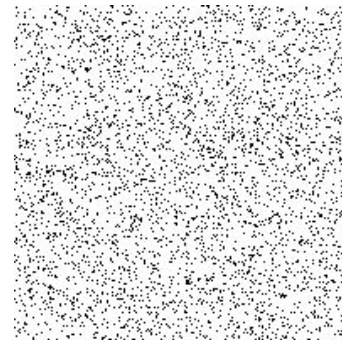
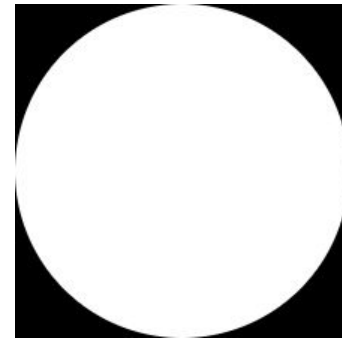
- Varredura Independente
 - Maurer - 2003
 - Saito - 1994
 - Lotufo-Zampirolli - 2001
- Propagação Ordenada
 - PMN de Cuisenaire - 1999
 - Eggers - 1998



Metodologia

Imagens Teste

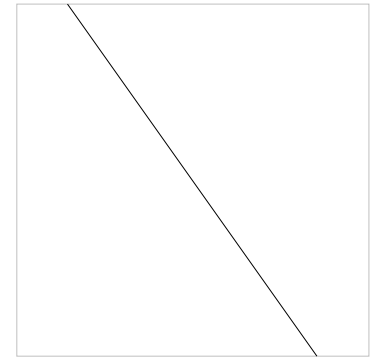
- Um pixel no canto da imagem
 - Maior distância possível
- Círculo branco inscrito
- Imagem meia-preenchida
- Pixels pretos aleatórios
 - Desempenho relativo ao nro. de pontos de interesse



Metodologia

Imagens Teste

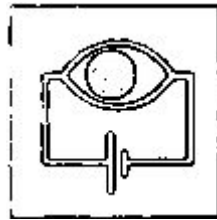
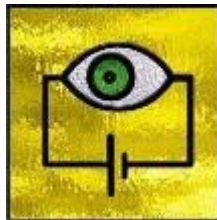
- Uma linha girando de 0° a 90°



Metodologia

Imagens Teste

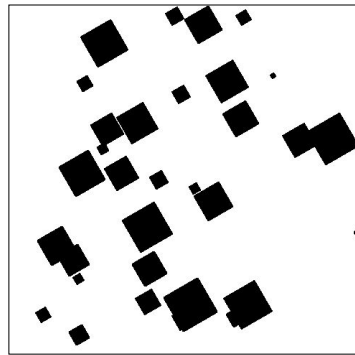
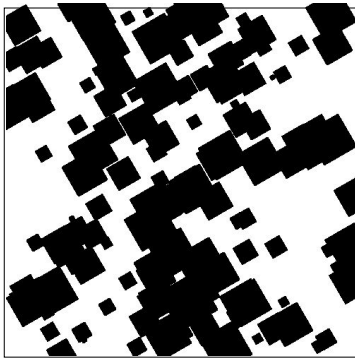
- Uma linha girando de 0° a 90°
- Imagens Binarizadas de Objetos Reais
 - Bordas binarizadas



Metodologia

Imagens Teste

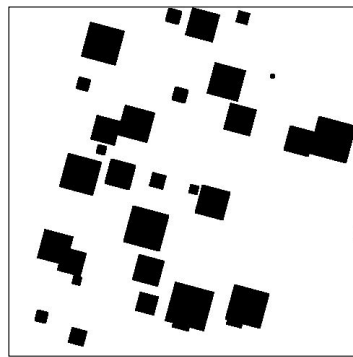
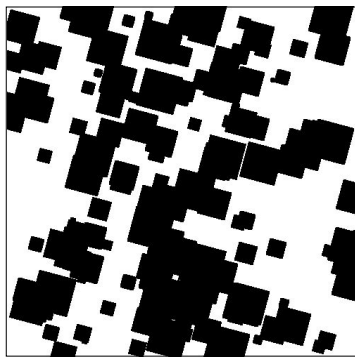
- Quadrados Aleatórios. Exemplo:
 - Porcentagem p de quadrados pretos
 - Rotacionados de um ângulo θ
 - Tamanhos dos quadrados sorteados em um intervalo



Metodologia

Imagens Teste

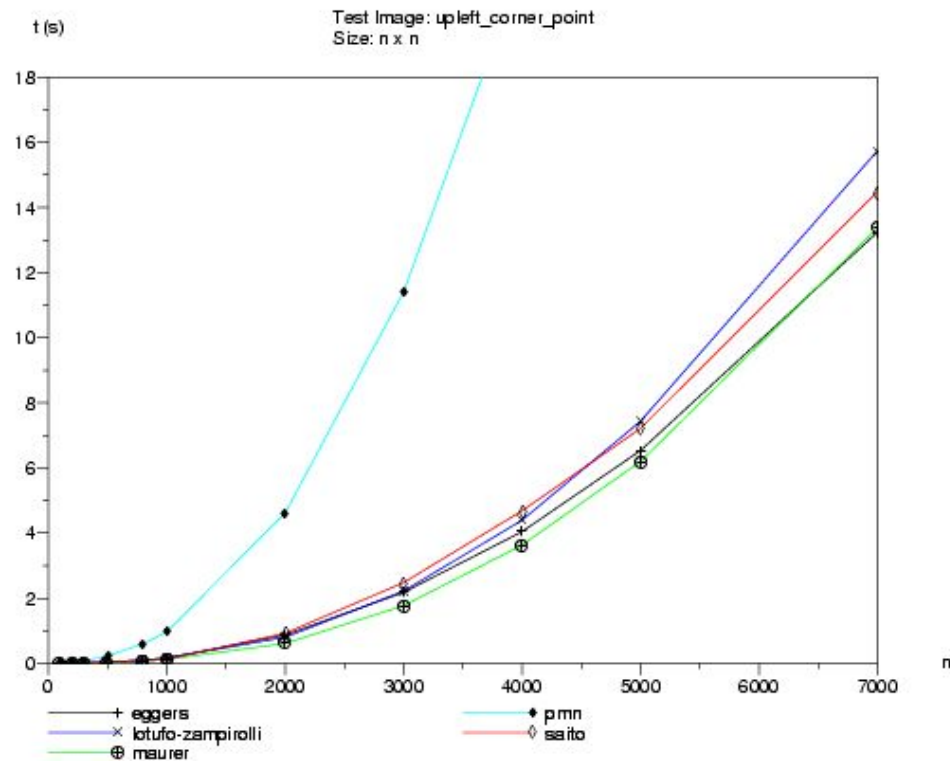
- Quadrados Aleatórios. Exemplo:
 - Porcentagem p de quadrados pretos
 - Rotacionados de um ângulo θ
 - Tamanhos dos quadrados sorteados em um intervalo



Resultados

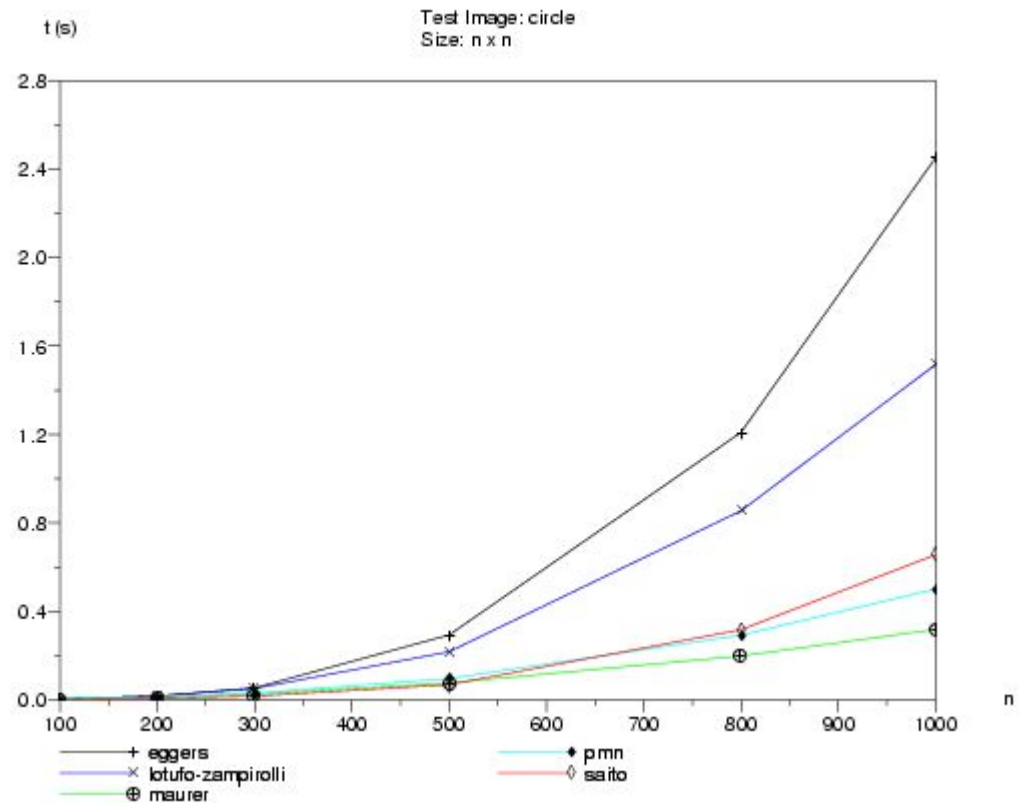
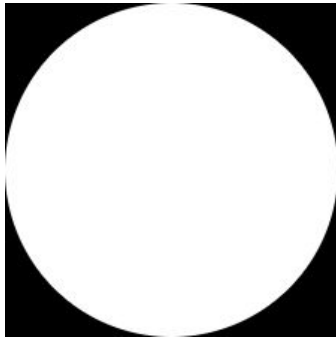
Pixel no canto

- Quadrados Aleatórios. Exemplo:
 - Surpresa: Cuisenaire



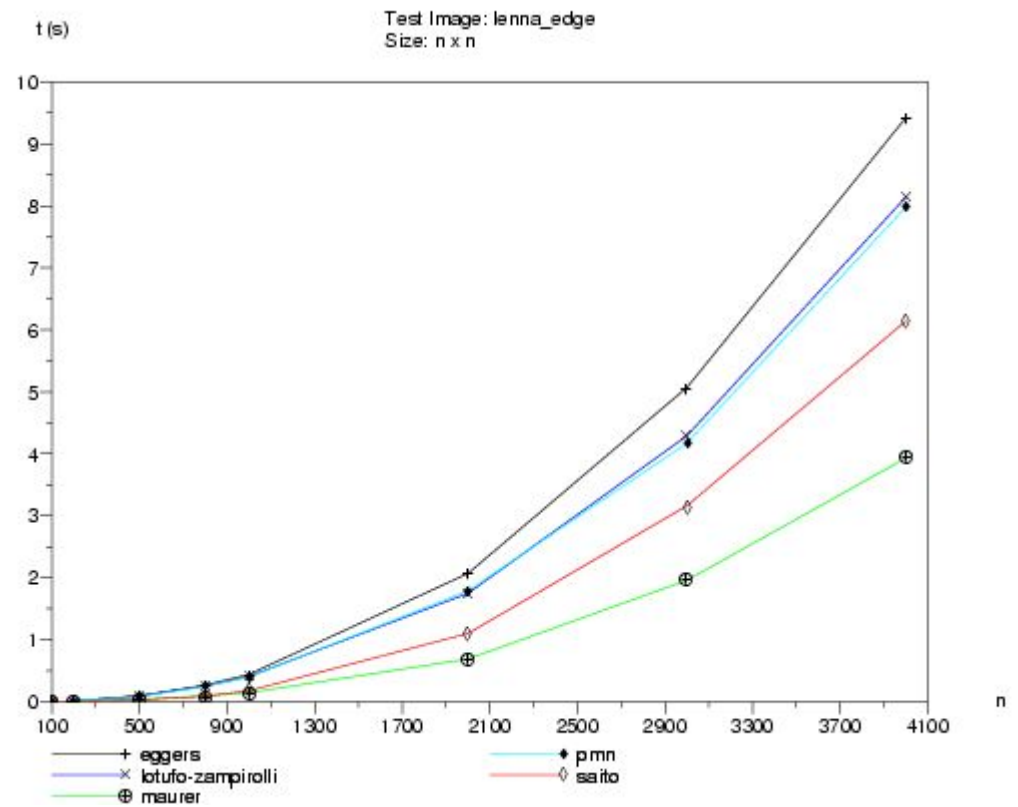
Resultados

Círculo



Resultados

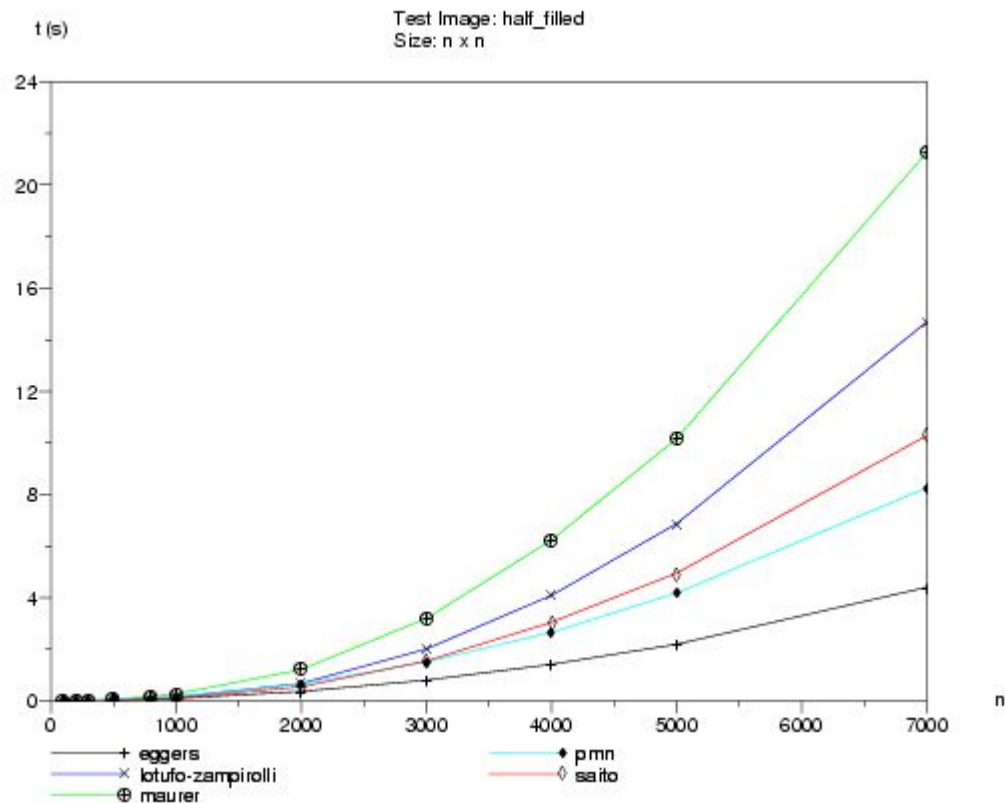
Bordas de Lenna



Resultados

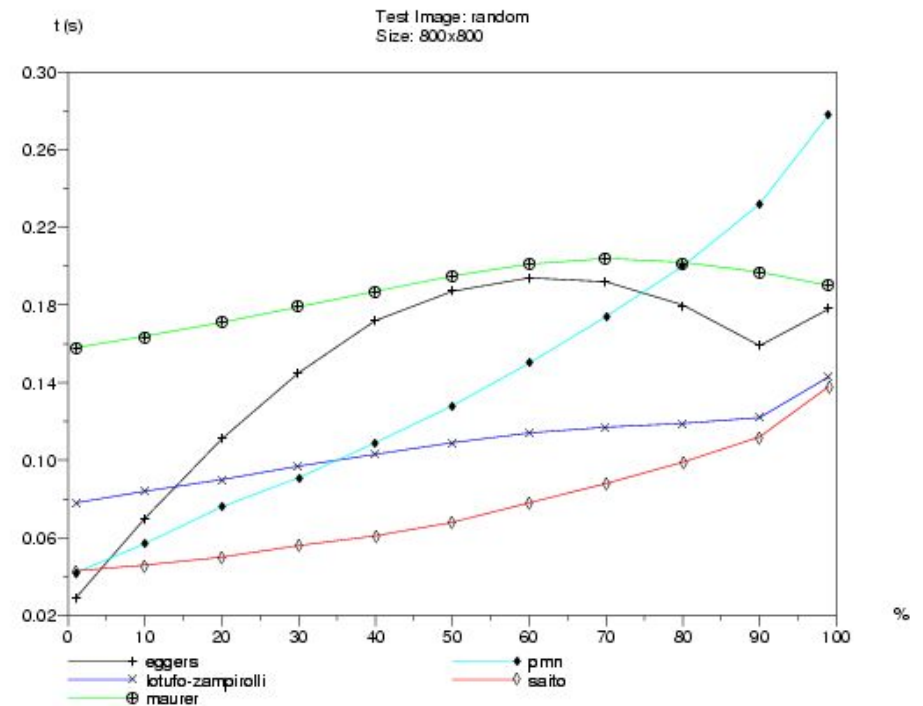
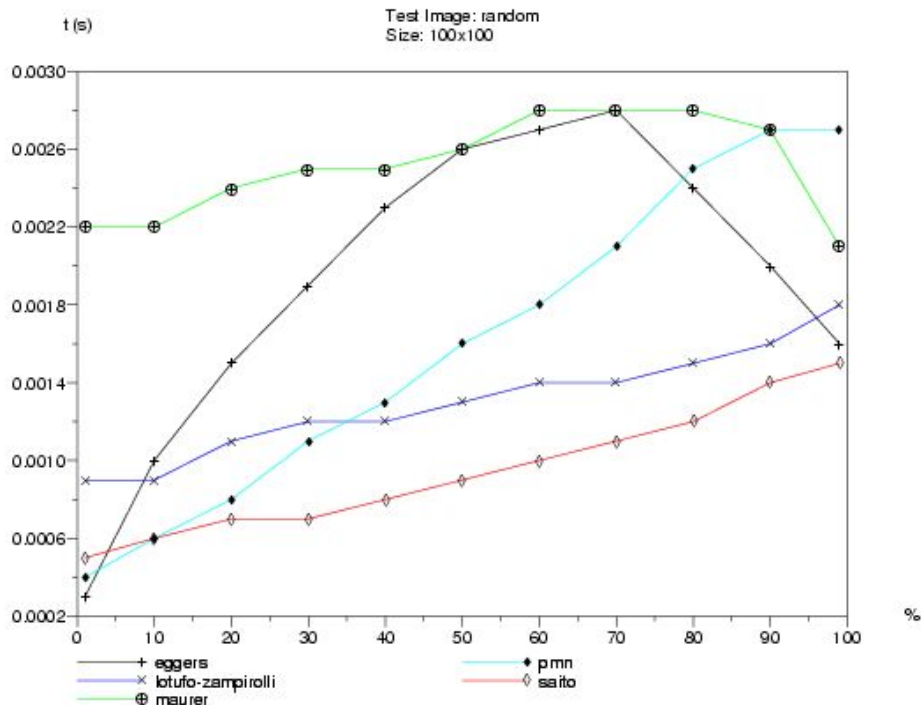
Imagem meia-preenchida

- Surpresa:
 - Maurer



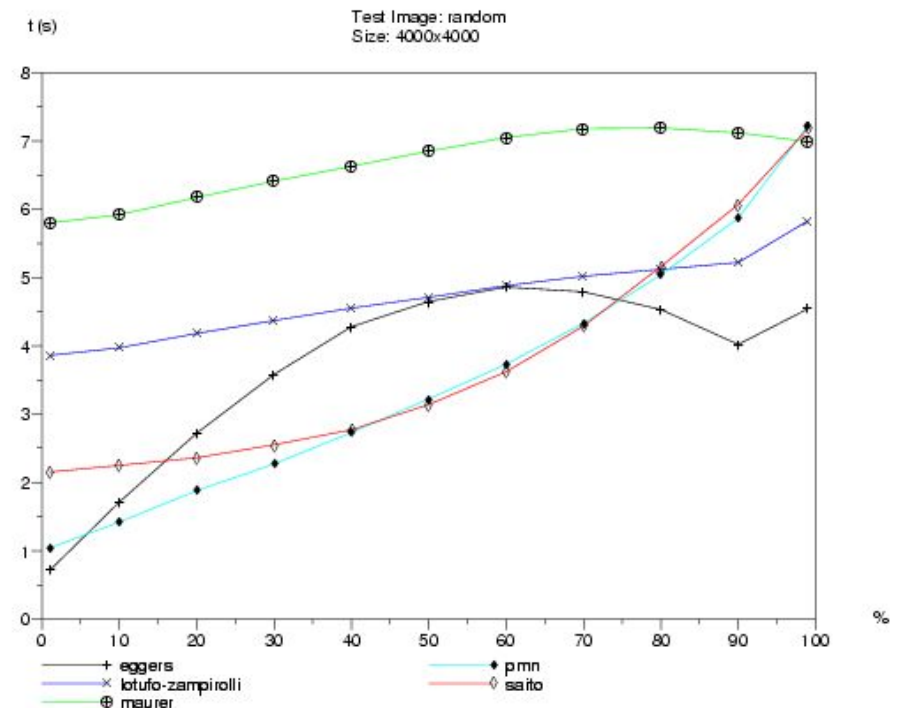
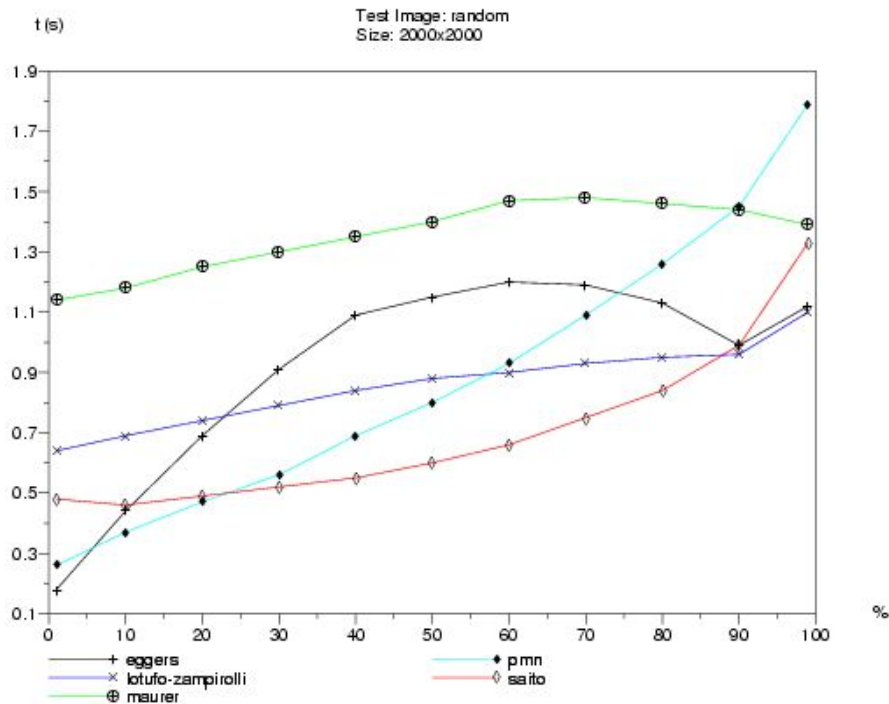
Resultados

Pixels Aleatórios



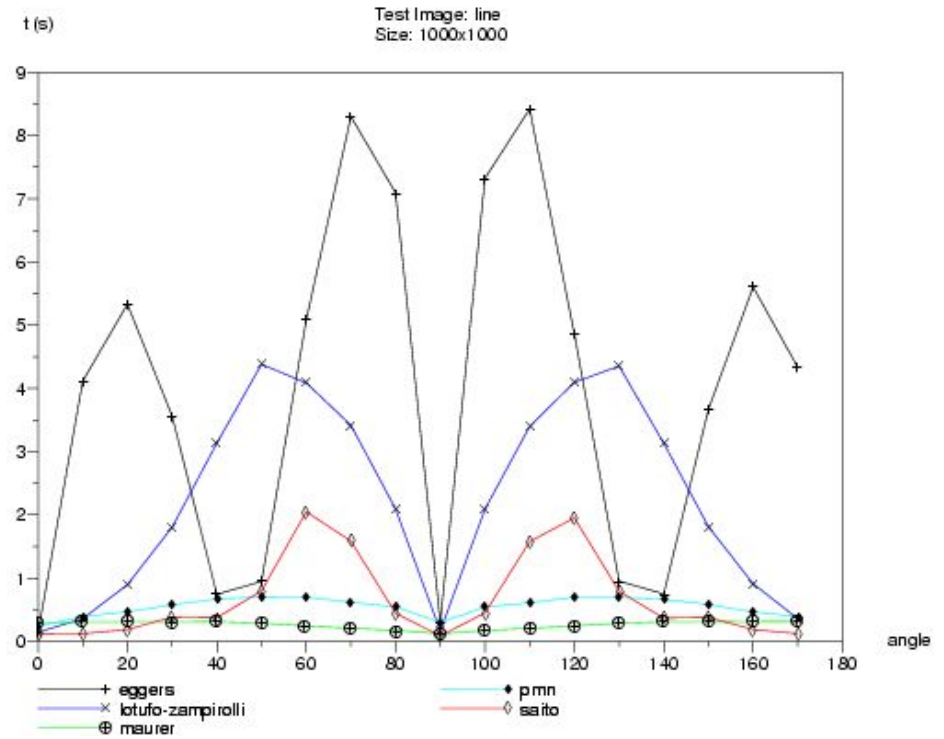
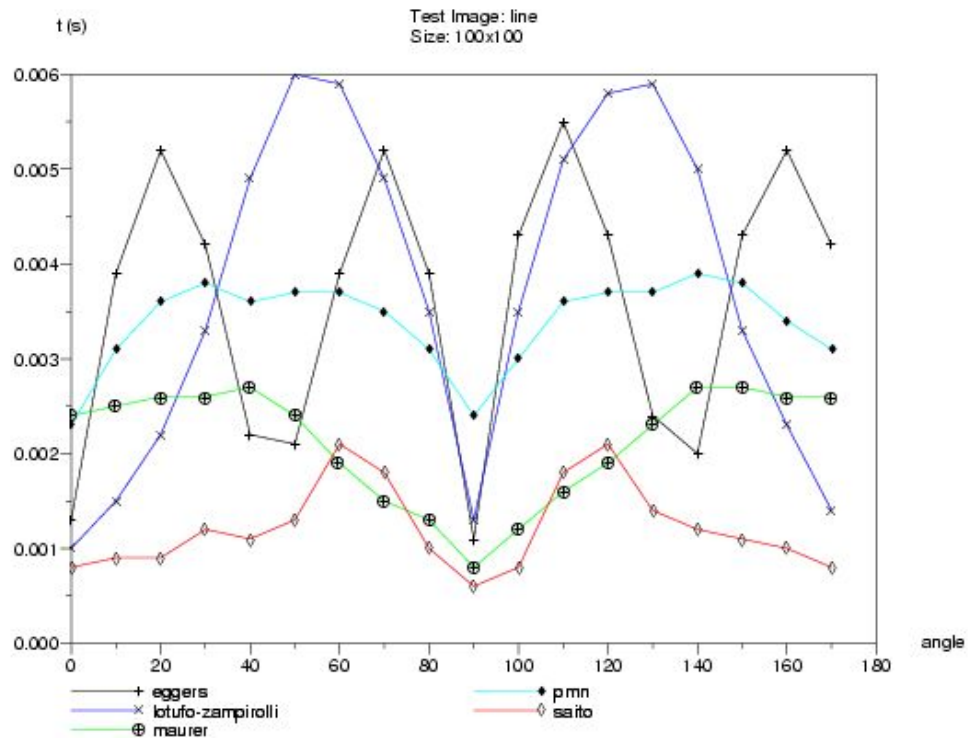
Resultados

Pixels Aleatórios



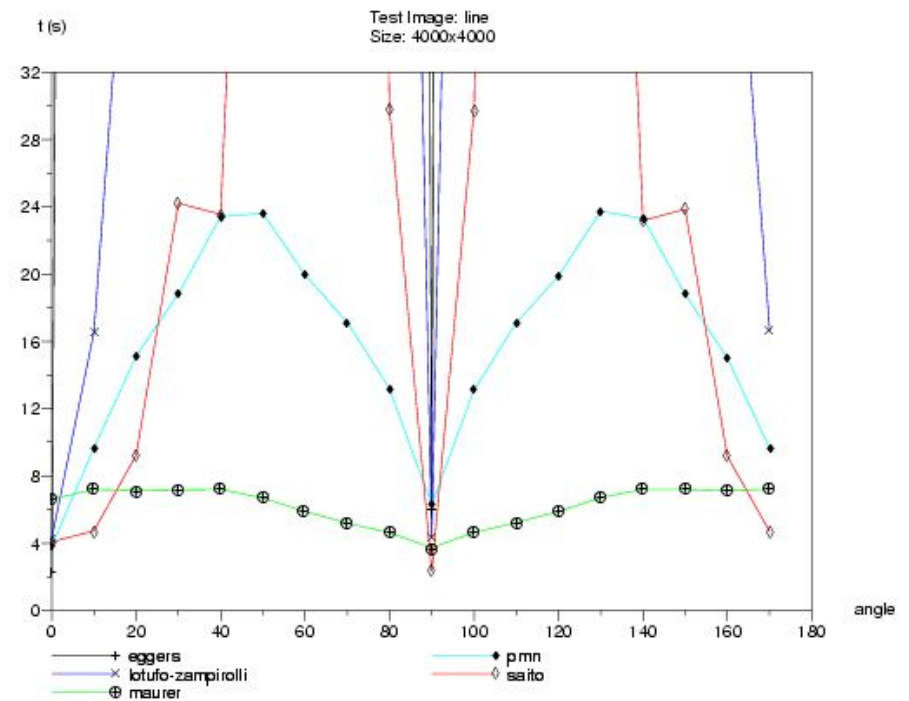
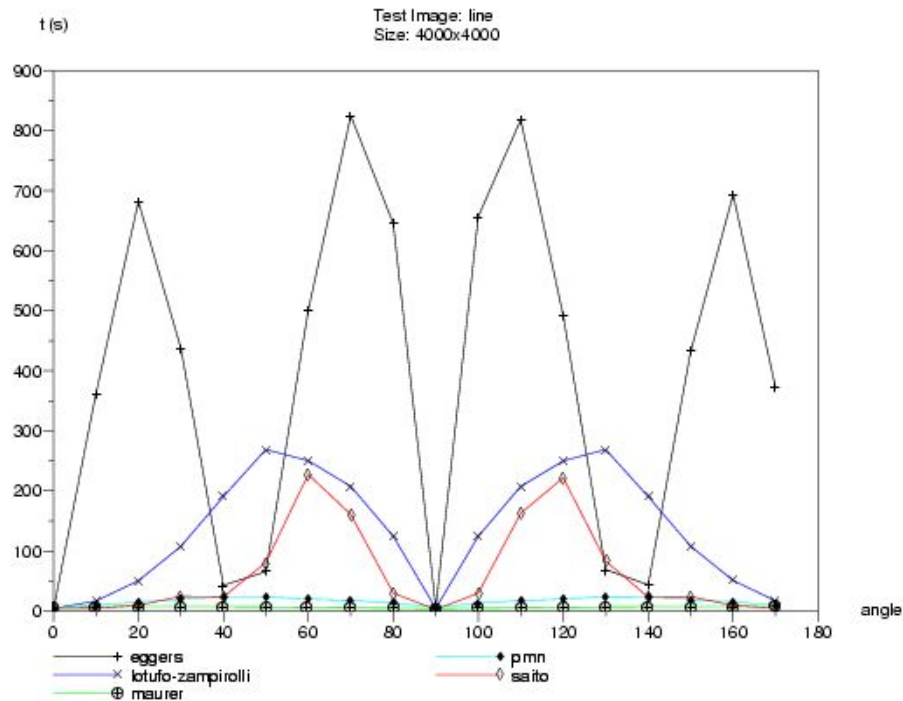
Resultados

Linha giratória



Resultados

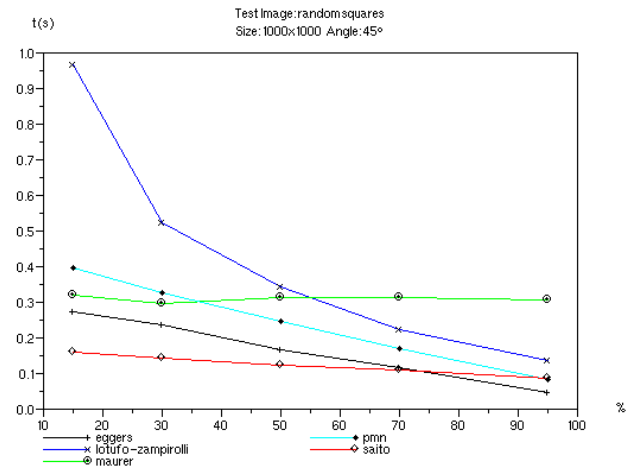
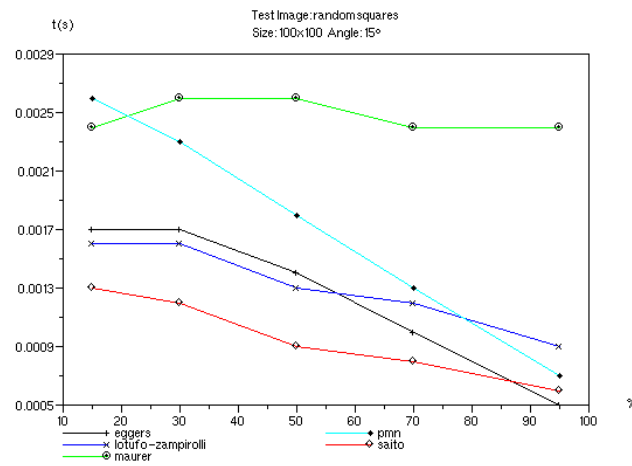
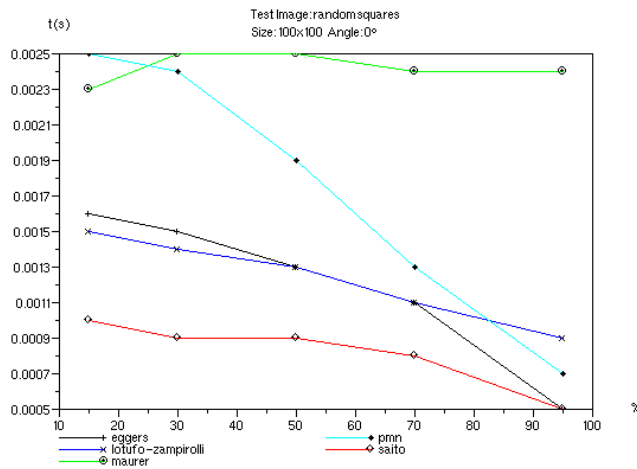
Linha giratória



Resultados

Quadrados Aleatórios

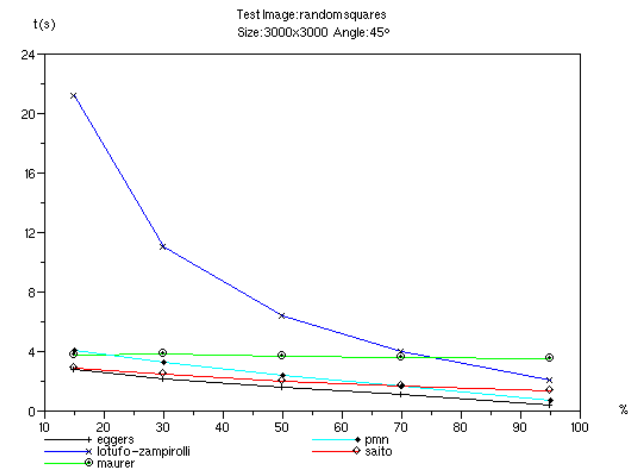
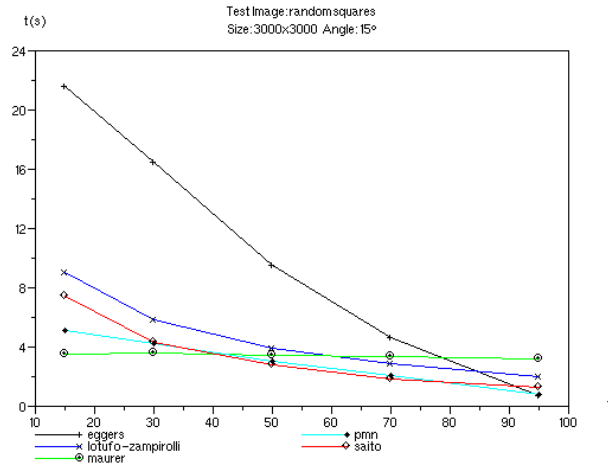
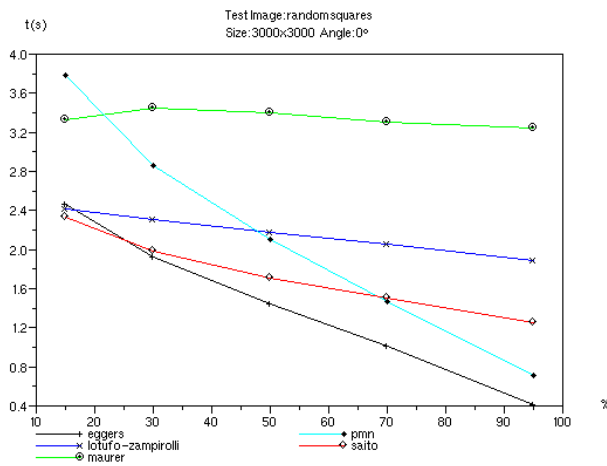
- Ângulos fixos
- 100x100



Resultados

Quadrados Aleatórios

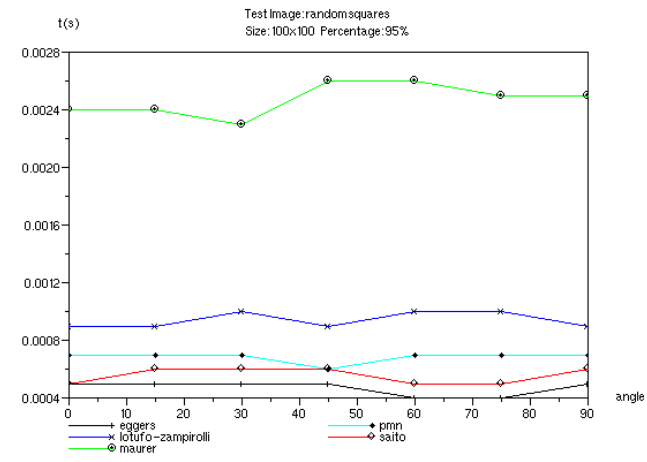
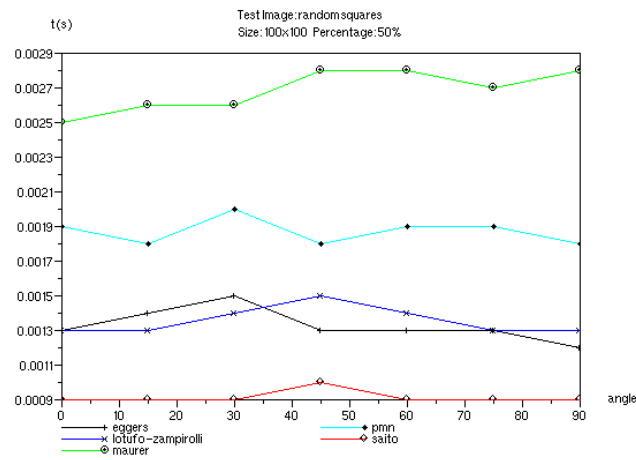
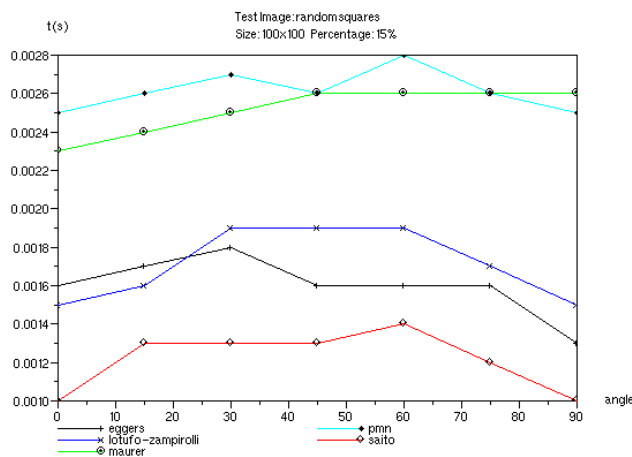
- Ângulos fixos
- 3000x3000



Resultados

Quadrados Aleatórios

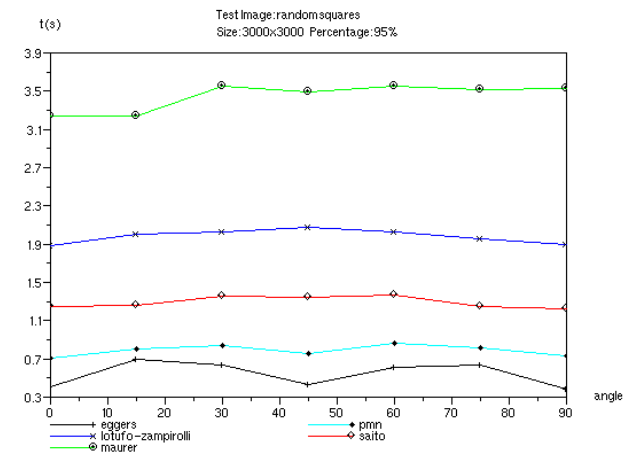
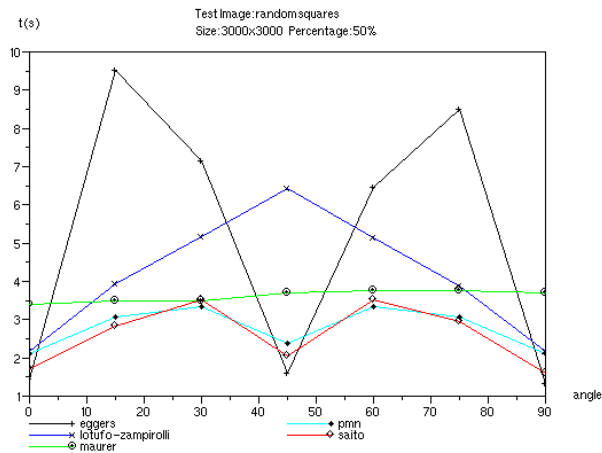
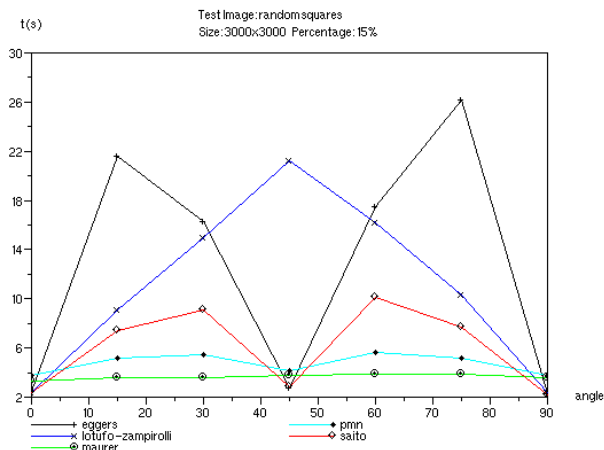
- Porcentagem fixa
- 100x100



Resultados

Quadrados Aleatórios

- Porcentagem fixa
- 3000x3000



Exatidão

- Único inexato: **Cuisenaire**
 - Quadrados aleatórios
 - Círculo 300x300
 - Lenna a partir de 500x500
 - Reta giratória (exceto ângulo reto)
- Ainda não determinamos se o erro está na teoria ou na implementação



Observações

- Comportamento bastante variado
- Velocidade proporcional à quantidade de pixels de interesse
- Também depende muito da geometria
- Exemplo:
 - Imagens com 50% de pixels
 - Comportamentos bem diferentes!



Desempenho de

Cuisenaire

- Pior caso para imagens com muitos pixels brancos
- O método mais dependente do número de pixels de interesse
- Relativamente estável à inclinação
- Linear relativo ao tamanho da imagem para imagem da reta e quadrados



Desempenho de

Maurer

- O mais estável relativo ao conteúdo
- Mais rápido para a maioria dos casos
- Relativamente lento para imagens com muitos pixels de interesse
 - Mas nunca ficou mais que 6 vezes mais lento que Saito



Desempenho de

Saito

- Bem na média
- Nunca foi o mais lento
- O mais fácil de implementar
- Pior caso: reta inclinada a 60°
 - 40 vezes mais lento que Maurer
- Bastante dependente ao conteúdo



Desempenho de

Lotufo-Zampirolli

- Desempenho mediano
- Não foi o melhor para nenhuma imagem testada
- Estável ao número de pixels de interesse
- Depende muito da orientação



Desempenho de

Eggers

- O mais dependente do conteúdo
- Foi o melhor para:
 - Imagem meia-preenchida
 - Imagem de quadrados 50% a 0°
 - Um ponto no canto
- Foi o pior para:
 - Bordas de Lenna
 - Círculo inscrito
 - Algumas porcentagens e inclinações das outras imagens



Conclusões e Perspectivas

Principais conclusões

- Maurer e Saito parecem ser os melhores algoritmos
 - Saito mais fácil que Maurer
 - Maurer se mostrou linear e estável, Saito não
- A implementação de Cuisenaire utilizada não é linear nem exata
- Eggers e Lotufo-Zampiroli, no geral, mostraram desempenho relativo inferior e uma dependência grande ao conteúdo
- O desempenho dos algoritmos avançados de TDE dependem muito do conteúdo da imagem



Contribuições

- Levantamento bibliográfico atualizado e organizado
- Descrição inédita dos métodos
 - Uniformidade
 - Ênfase nos conceitos-chave
 - Elucida passagens obscuras dos originais
- Validação dos algoritmos de TDE
- Implementação confiável e acessível
 - Será disponibilizada em software livre
 - Extensivamente testada
 - Interface com Scilab



Contribuições

- Algoritmos mais confiáveis comprovadamente eficientes
- Potencial para futuros avanços teóricos
 - Experimentos forneceram evidência para propriedades a serem provadas futuramente
 - *Insight* para novos algoritmos
- Metodologia aplicável a outros problemas correlatos



Contribuições

- Validações futuras facilitadas
- Utilidade do trabalho é ampla
 - A TDE é base de diversos outros operadores, técnicas e aplicações



Trabalho Futuro

- Extensão dos métodos para outros problemas
 - Eixos mediais multi-escala
 - Diagramas de Voronoi
- Tratar outros domínios
 - 3D
 - Domínios não-convexos
- Extensão para outras métricas
 - Segmentação
- Incluir métodos baseados em EDPs
- Estudo teórico aprofundado



Trabalho Futuro

- Incorporar mais imagens teste
- Analisar formalmente o método de Shih2004



Referências

A. Rosenfeld and J. Pfaltz, “Sequential operations in digital picture processing,” *Journal of the ACM*, vol. 13, no. 4, 1966.

G. Borgefors, “Distance transformations in arbitrary dimensions,” *Computer Vision, Graphics, and Image Processing*, vol. 27, pp. 321–345, 1984.

G. Borgefors, “Distance transformations in digital images,” *Computer Vision, Graphics, and Image Processing*, vol. 34, pp. 344–371, 1986.

P.-E. Danielsson, “Euclidean distance mapping,” *Computer Graphics and Image Processing*, vol. 14, pp. 227–248, 1980.

D. W. Paglieroni, “Distance transforms: Properties and machine vision applications,” *Graphical Models and Image Processing*, vol. 54, no. 1, pp. 56–74, 1992.

T. Saito and J. Toriwaki, “New algorithms for Euclidean distance transformations of an n-dimensional digitised picture with applications,” *Pattern Recognition*, vol. 27, no. 11, pp. 1551–1565, 1994.

H. Eggers, “Two fast Euclidean distance transformations in \mathbb{Z}^2 based on sufficient propagation,” *Computer Vision and Image Understanding*, vol. 69, pp. 106–116, jan 1998.



Referências

O. Cuisenaire, *Distance Transformations: Fast Algorithms and Applications to Medical Image Processing*. PhD thesis, Université Catholique de Louvain, Belgique, oct 1999.

O. Cuisenaire and B. Macq, “Fast Euclidean distance transformation by propagation using multiple neighborhoods,” *Computer Vision and Image Understanding*, vol. 76, no. 2, pp. 163–172, 1999.

O. Cuisenaire and B. Macq, “Fast and exact signed Euclidean distance transformation with linear complexity,” in *ICASSP99 - IEEE Intl Conference on Acoustics, Speech and Signal Processing*, vol. 6, (Phoenix, USA), pp. 3293–3296, mar 1999.

C. Maurer, R. Qi, and V. Raghavan, “A linear time algorithm for computing the Euclidean distance transform in arbitrary dimensions,” *IEEE Transactions on Pattern Analysis and Machine Intelligence*, vol. 25, pp. 265–270, feb 2003.



Referências

F. Y. Shih and Y.-T. Wu, “Fast Euclidean distance transformation in two scans using a 3×3 neighborhood,” *Computer Vision and Image Understanding*, vol. 93, pp. 195 – 205, feb 2004.

R. Lotufo and F. Zampirolli, “Fast multi-dimensional parallel Euclidean distance transform based on mathematical morphology,” in *Proceedings of SIBGRAPI, XIV Brazilian Symposium on Computer Graphics and Image Processing*, pp. 100–105, IEEE Computer Society, 2001.

R. A. Lotufo and F. A. Zampirolli, “Multidimensional parallel EDT using 1d erosions by propagation,” march 2003. submetido.

F. A. Zampirolli, *Transformada de Distância por Morfologia Matemática*. PhD thesis, UNICAMP, Campinas, Brasil, jun 2003.

A. Falcao, J. Stolfi, and R. A. Lotufo, “The image foresting transform: theory, algorithms, and applications,” *IEEE Transactions on Pattern Analysis and Machine Intelligence*, vol. 26, pp. 19–29, jan 2004.



Referências

Implementações

- SIP- Scilab Image Processing Toolbox
 - <http://siptoolbox.sourceforge.net>
- Animal – An Imaging Library
 - <http://animal.sourceforge.net>

Futuramente:

- Referências categorizadas:
 - www.hotreference.com
- Resultados completos:
 - <http://cyvision.if.sc.usp.br/~rfabbri/edt>

